

Primena strujnih pretvarača učestanosti u elektromotornim pogonima

Dr Aleksandar Nikolić, dipl.ing.,
viši naučni saradnik, IEEE Senior Member

Sadržaj

- Osnovne karakteristike strujnog pretvarača učestanosti
- Analiza komutacionog kola kod strujnog invertora
- Talasni oblici struja i napona
- Regenerativno kočenje
- Poluprovodnici koji se primenjuju kod strujnih pretvarača
- Različite topologije i modifikacije strujnog pretvarača
- Upravljačke strategije u pogonima sa strujnim pretvaračima
- Primena strujnih pretvarača u elektromotornim pogonima
- Zaključak
- Literatura

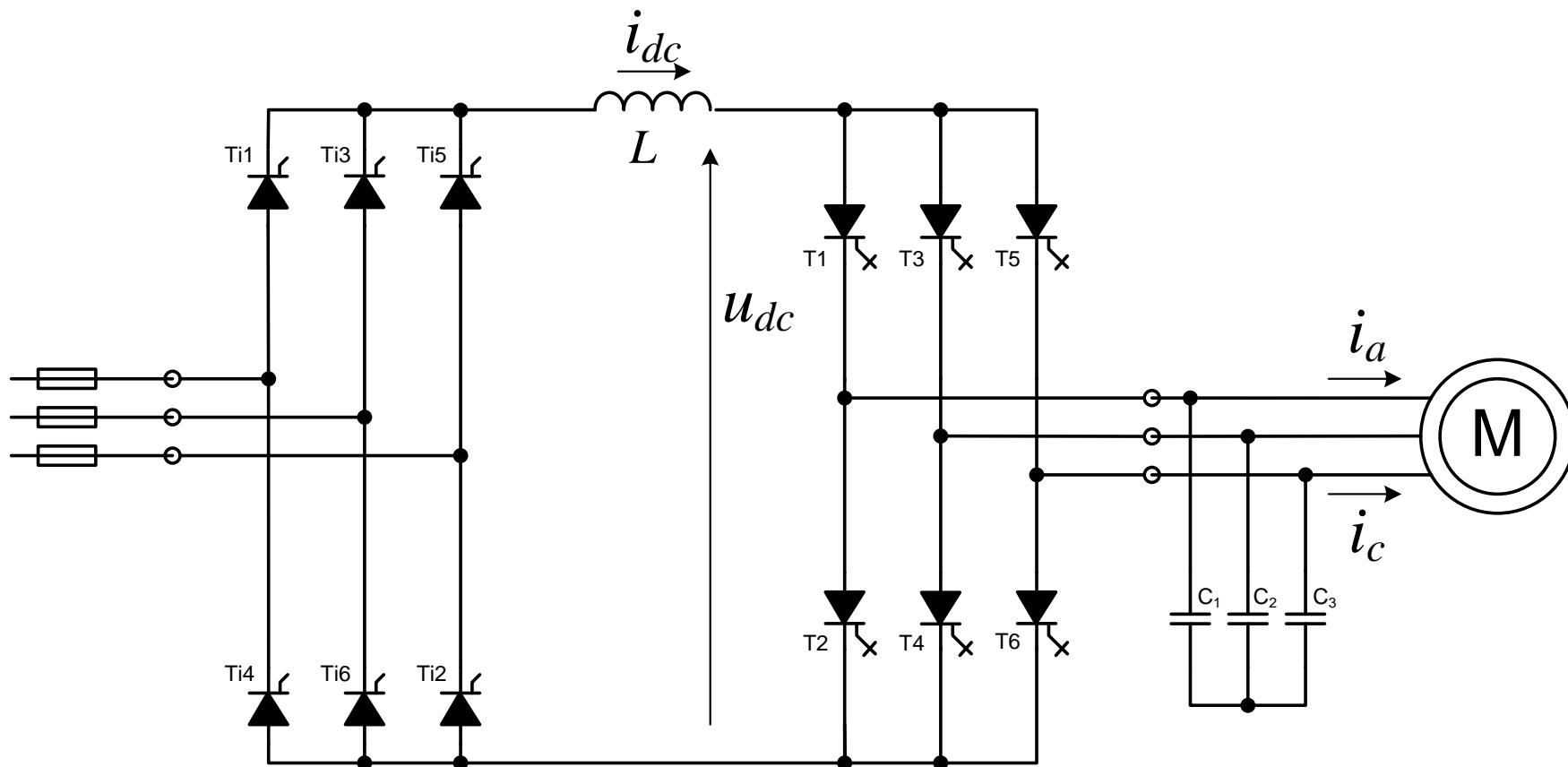
Osnovne karakteristike strujnog pretvarača učestanosti

- ✓ Punoupravljivi ispravljač na ulazu (2-kvadrantni)
- Jednosmerno međukolo sa prigušnicom
- Invertor sa forsiranom komutacijom
- Niska komutaciona učestanost invertora
- ✓ Rekuperacija energije u napojnu mrežu pri kočenju
- 6 diskretnih vektora struje motora
- ✓ Neosetljiv na kratak spoj na izlazu
- ✓ Talasni oblik napona na motoru obezbeđuje manji du/dt

Strujni pretvarači – pregled tržišta

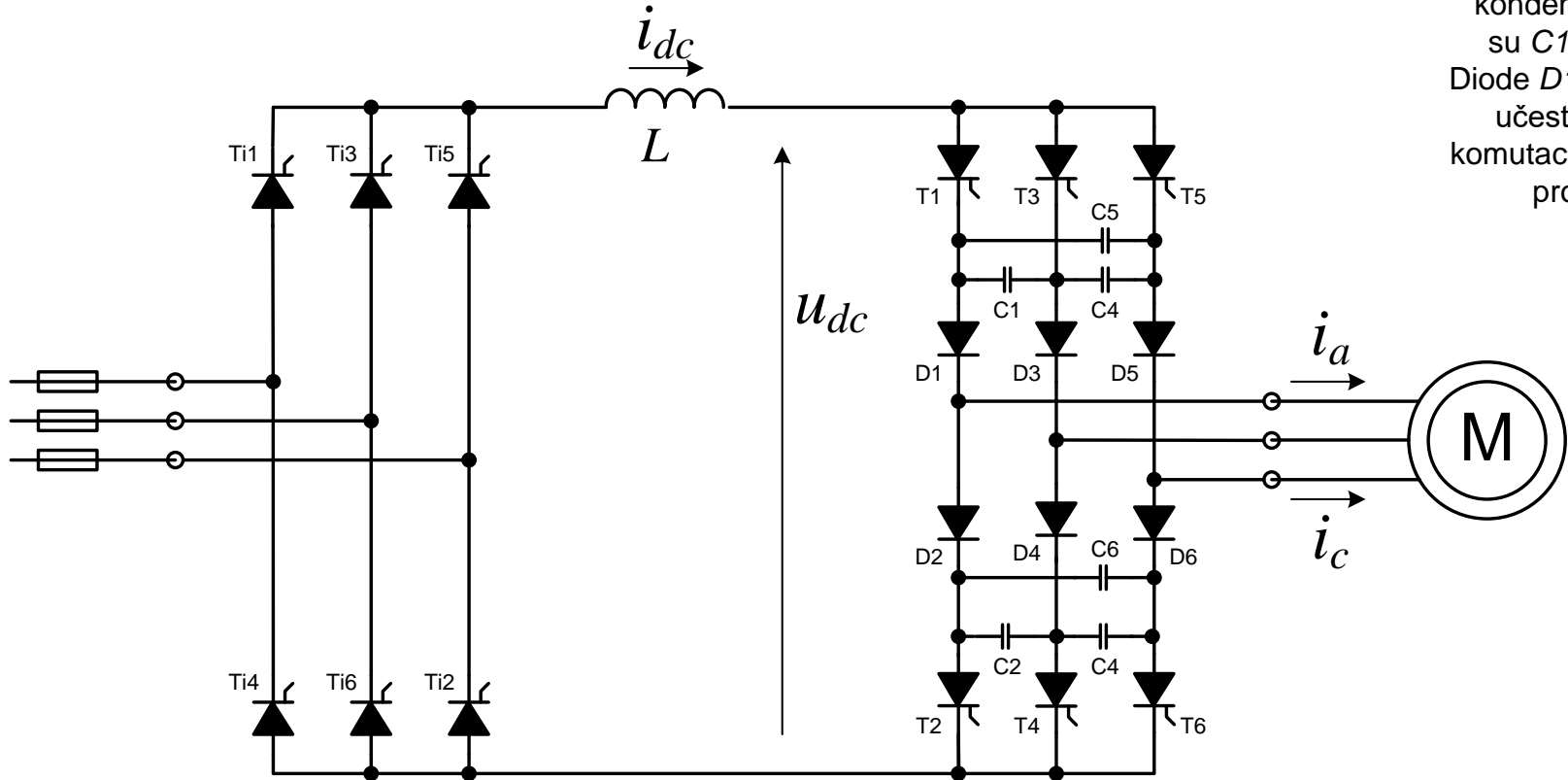
Konfiguracija	Prekidački element	Opseg snage [MVA, MW]	Napon na motoru	Proizvođač
CSI / Strujni inverter	GTO 240Hz	8,3 – 13,5	6kV, 10kV	Alstom/GE (CDM8000)
LCI / Load Commutated Inverter	Tiristor 6/ 12/24 pulsni	2 – 10 Air 5 – 100 Water	1 – 10 kV	Alstom/GE (SD7000)
LCI Naponski (više)	Tiristor 6/ 12/24 pulsni	2-41 Air 7-72 Water	2,1-10kV	ABB MegaDrive LCI
LCI Naponski (više)	Tiristor 6/ 12/24 pulsni	2,8-19,6 Air 16-74 Water	4,8kV 11kV	Siemens Sinamics GL150
Multilevel Naponski	IGBT	10	2,4 – 11 kV	Yaskawa
CSI / Strujni inverter	SGCT	6	6,6 kV	Rockwell Allen-Bradley PowerFlex 7000
NPC 3-Level Naponski	IGBT	4,4	2,4 – 13,8 kV	Eaton (SC9000)
LCI	Tiristor 12 pulsni	100	4 – 10	Nidec (Ansaldo)

Principijelna šema pogona sa asinhronim motorom napajanim iz strujnog invertora sa GTO tiristorima



GTO (Gate Turn Off) tiristori imaju mogućnost isključenja.

Principijelna šema pogona sa asinhronim motorom napajanim iz strujnog invertora sa sekvencijalnom komutacijom

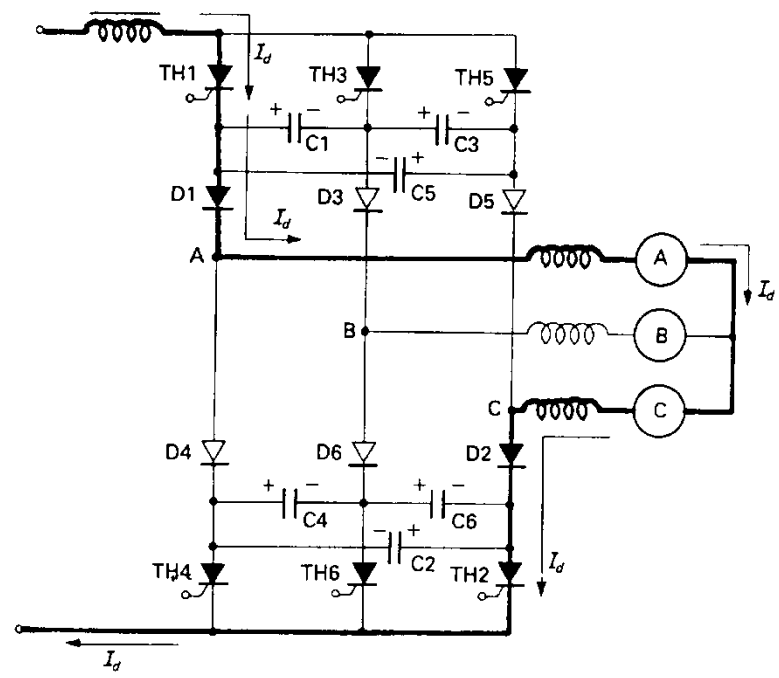


Komutacioni kondenzatori su $C1 - C6$. Diode $D1 - D6$ učestvuju u komutacionom procesu.

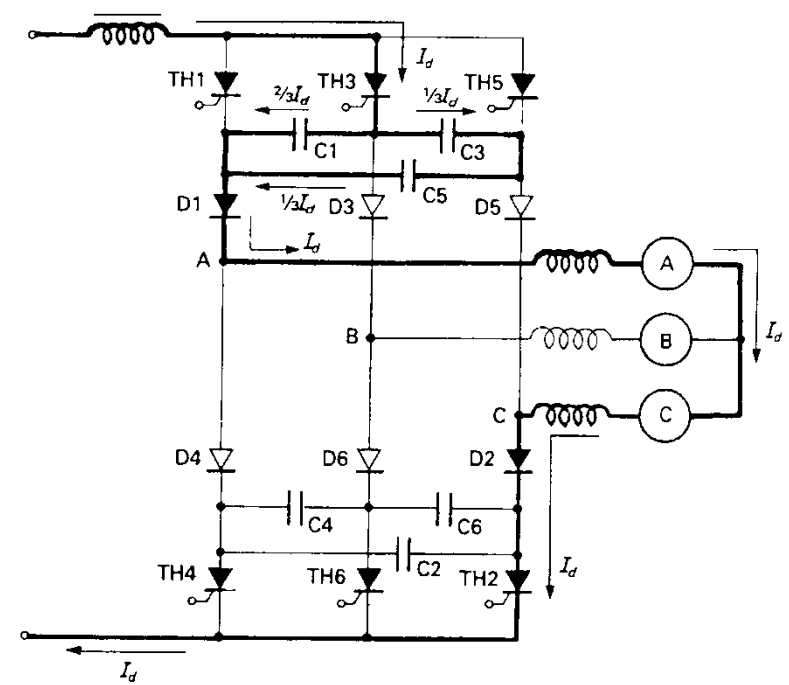
Ispravljačem se podešava vrednost struje, a invertorom se podešava učestanost. Talasni oblik izlazne struje je pravougaoni, sa stalnom maksimalnom vrednošću i_{dc}

Analiza komutacionog kola kod pretvarača sa sekvencijalnom komutacijom

- Interval A

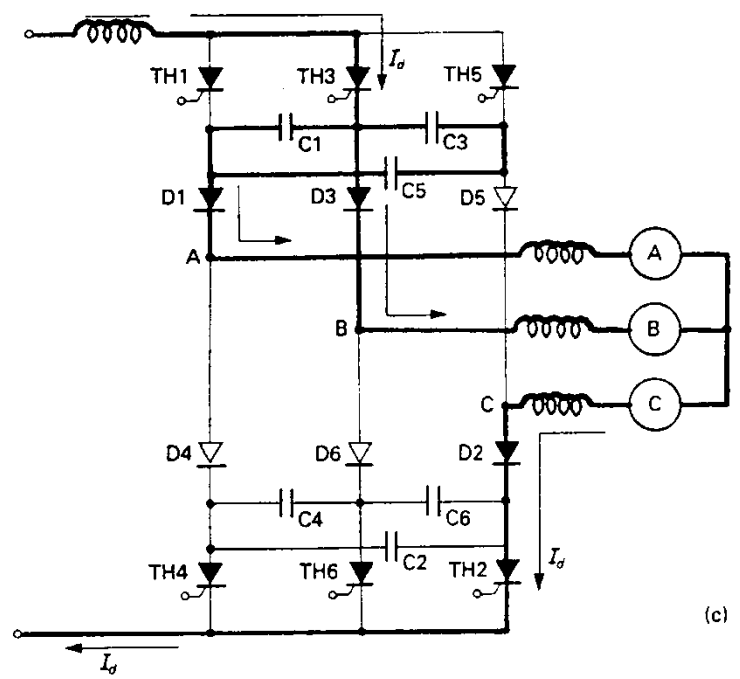


- Interval B

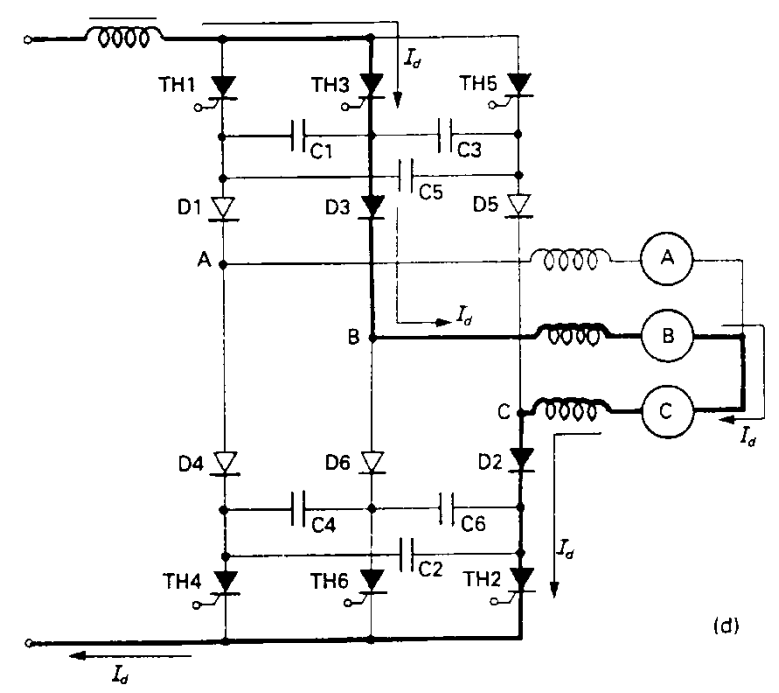


Analiza komutacionog kola kod pretvarača sa sekvencijalnom komutacijom

- Interval C

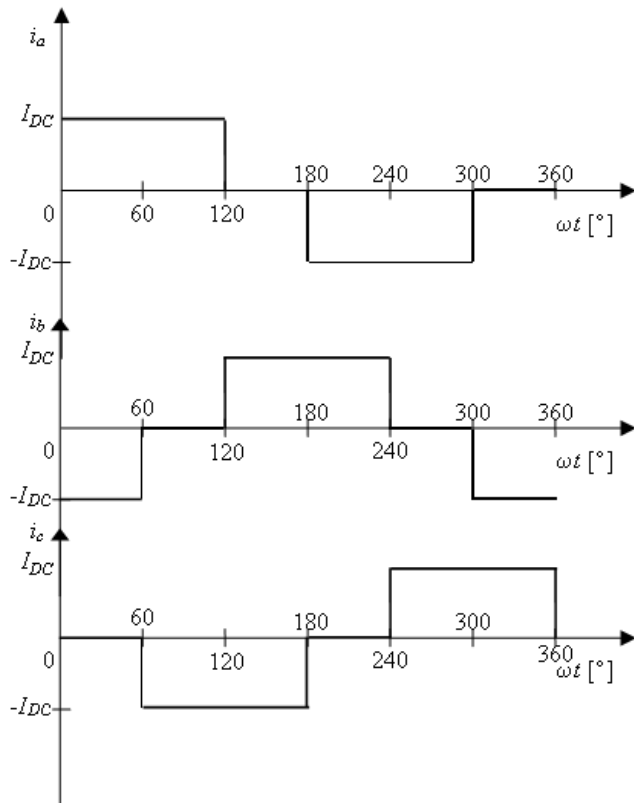


- Interval D



Talasni oblici struja i napona

Analiza talasnog oblika struje na izlazu
invertora

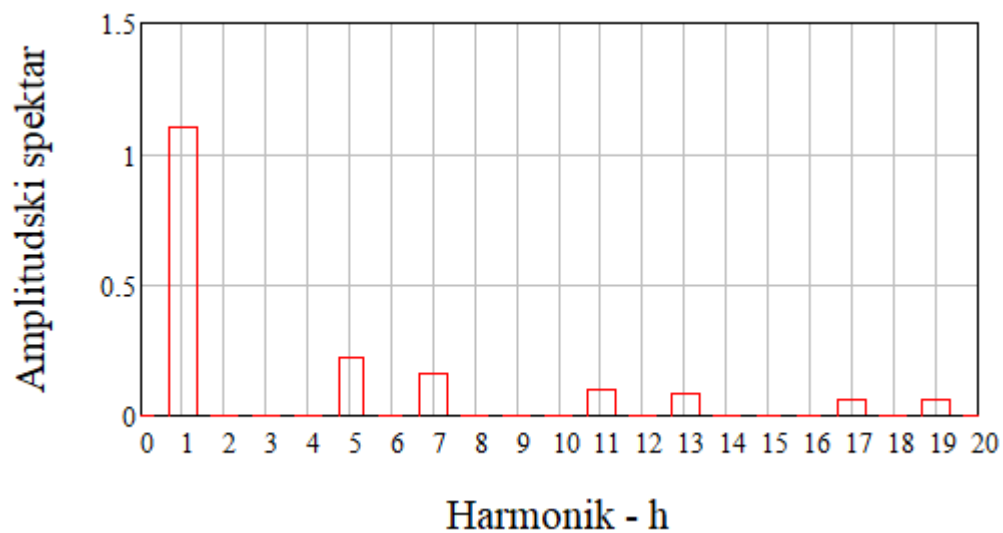
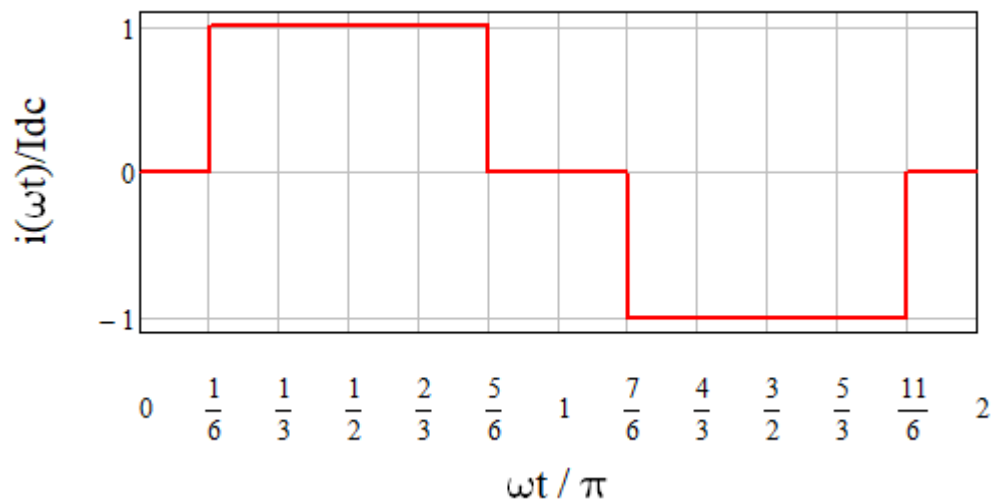


$$i_a = \frac{2\sqrt{3}}{\pi} I_{DC} \cdot \left[\begin{aligned} &\sin(\omega t) - \frac{1}{5} \sin(5\omega t) + \\ &+ \frac{1}{7} \sin(7\omega t) - \frac{1}{11} \sin(11\omega t) + \dots \end{aligned} \right]$$

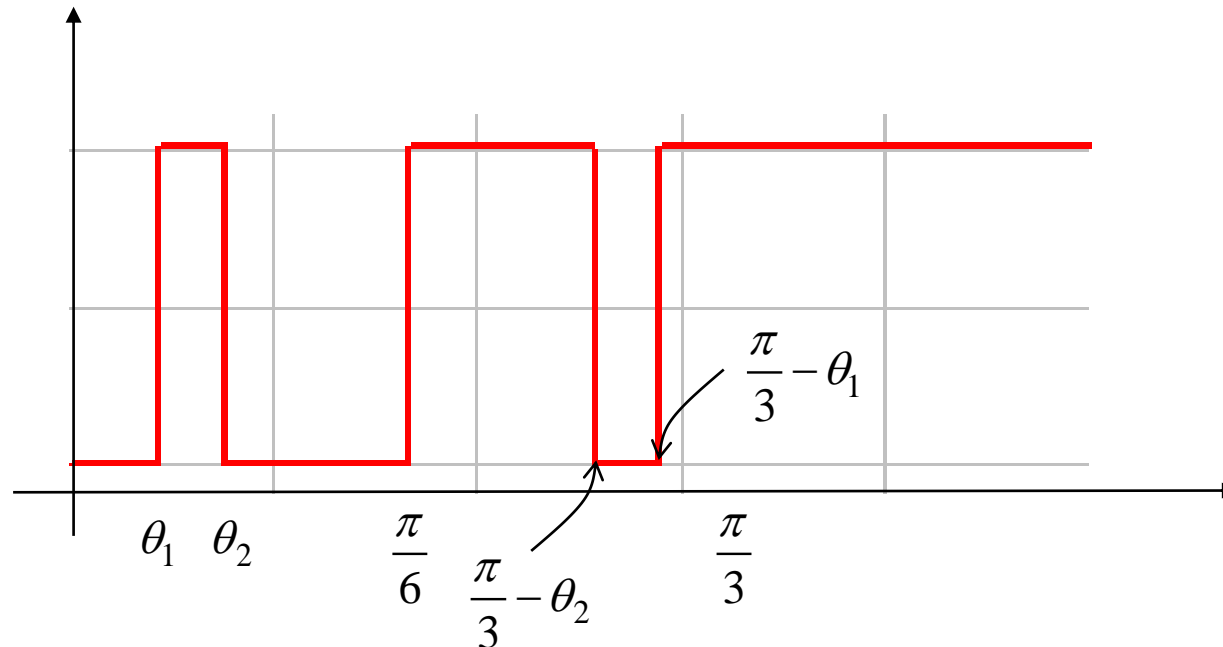
$$I_1 = \frac{2\sqrt{3}}{\pi} I_{DC} \approx 1,1 \cdot I_{DC}$$

$$I_{RMS} = \frac{\sqrt{6}}{\pi} I_{DC} \approx 0,78 \cdot I_{DC}$$

Harmonijska analiza pravougaonog signala



Selektivna eliminacija harmonika

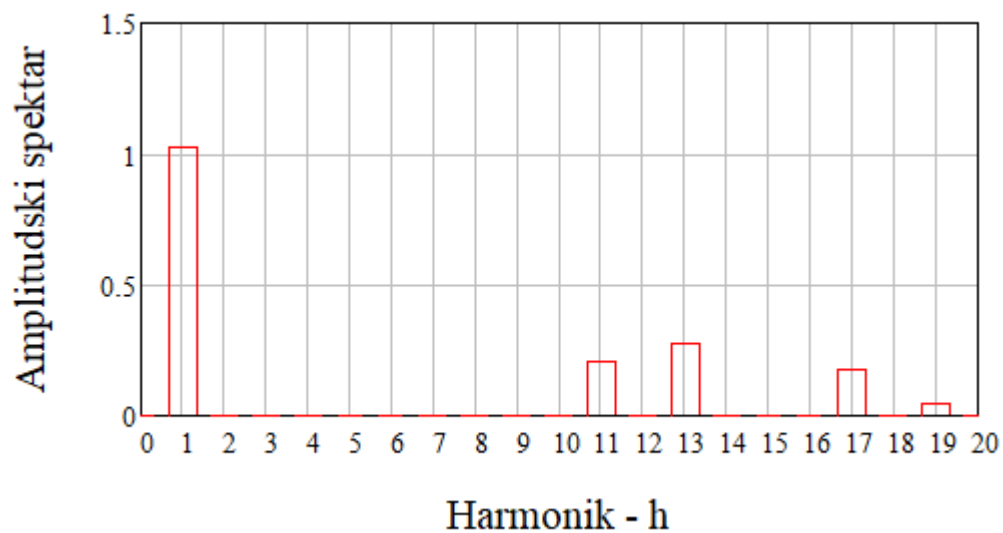
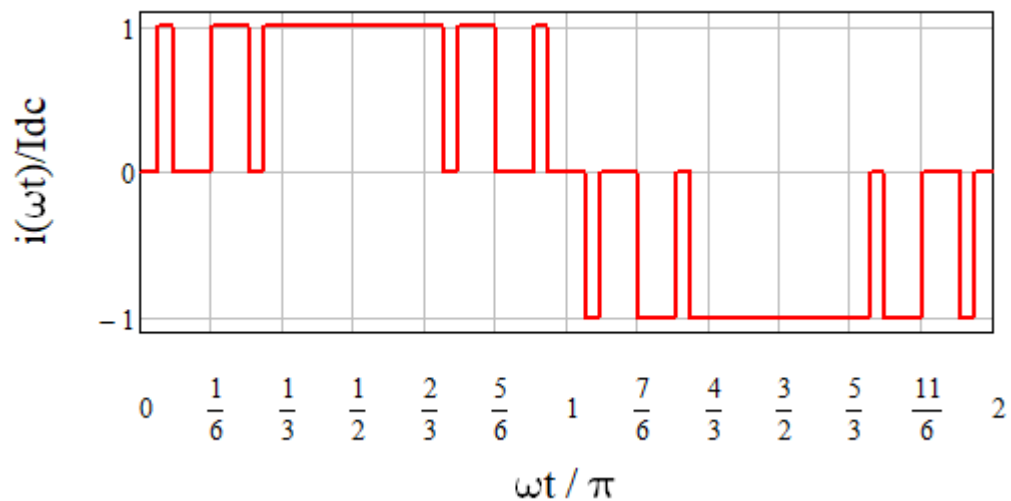


Ugao θ_1 i θ_2 se odrede tako da se izgube harmonici koje želimo da nemamo, na pr. (H5 i H7), ili (H5, H7 i H11).

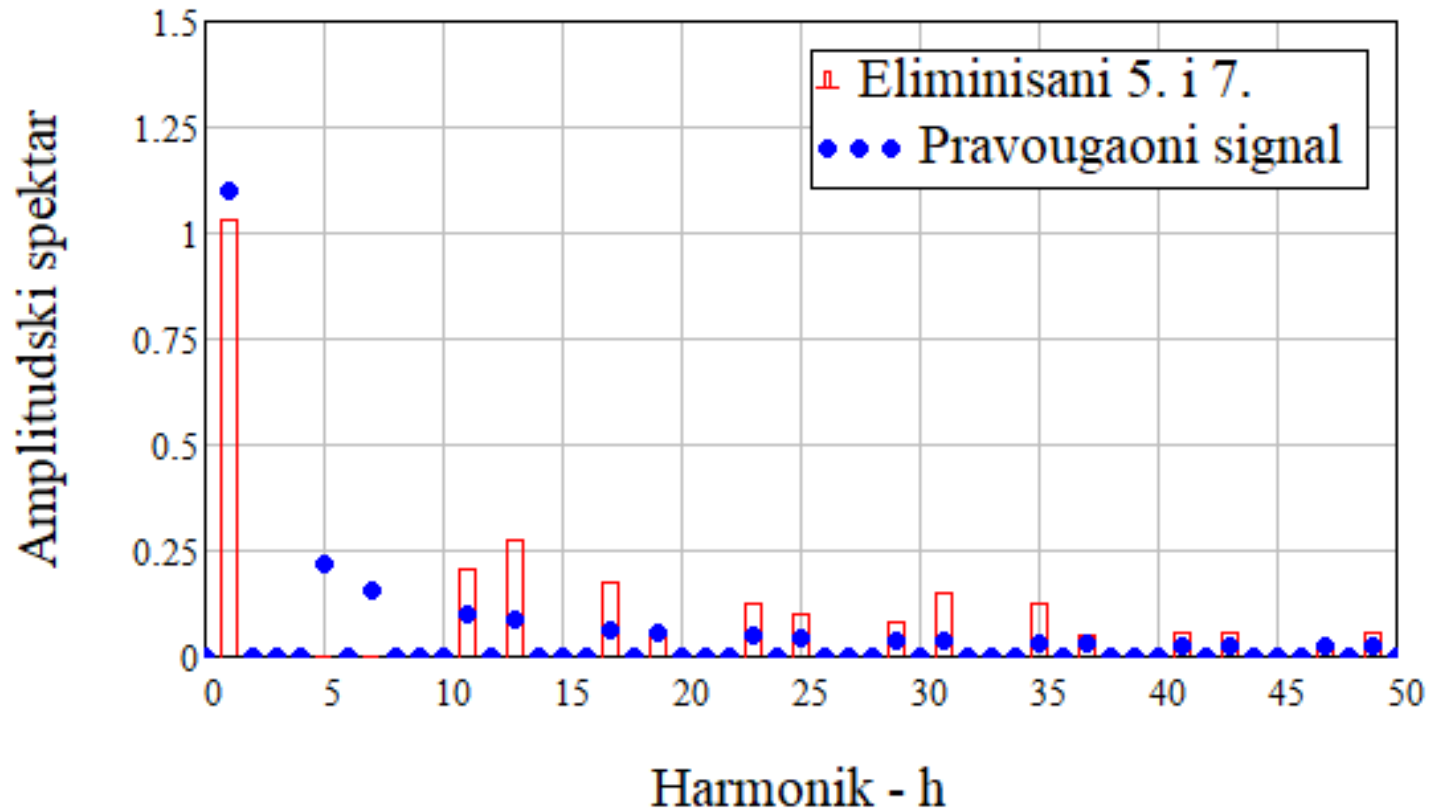
Ovaj postupak se mora sprovesti numerički, treba rešiti sistem nelinearnih i transcendentnih jednačina.

Postupak se može sprovesti unapred, (ne realnom vremenu) i rezultati smestiti u look-up tabelu.

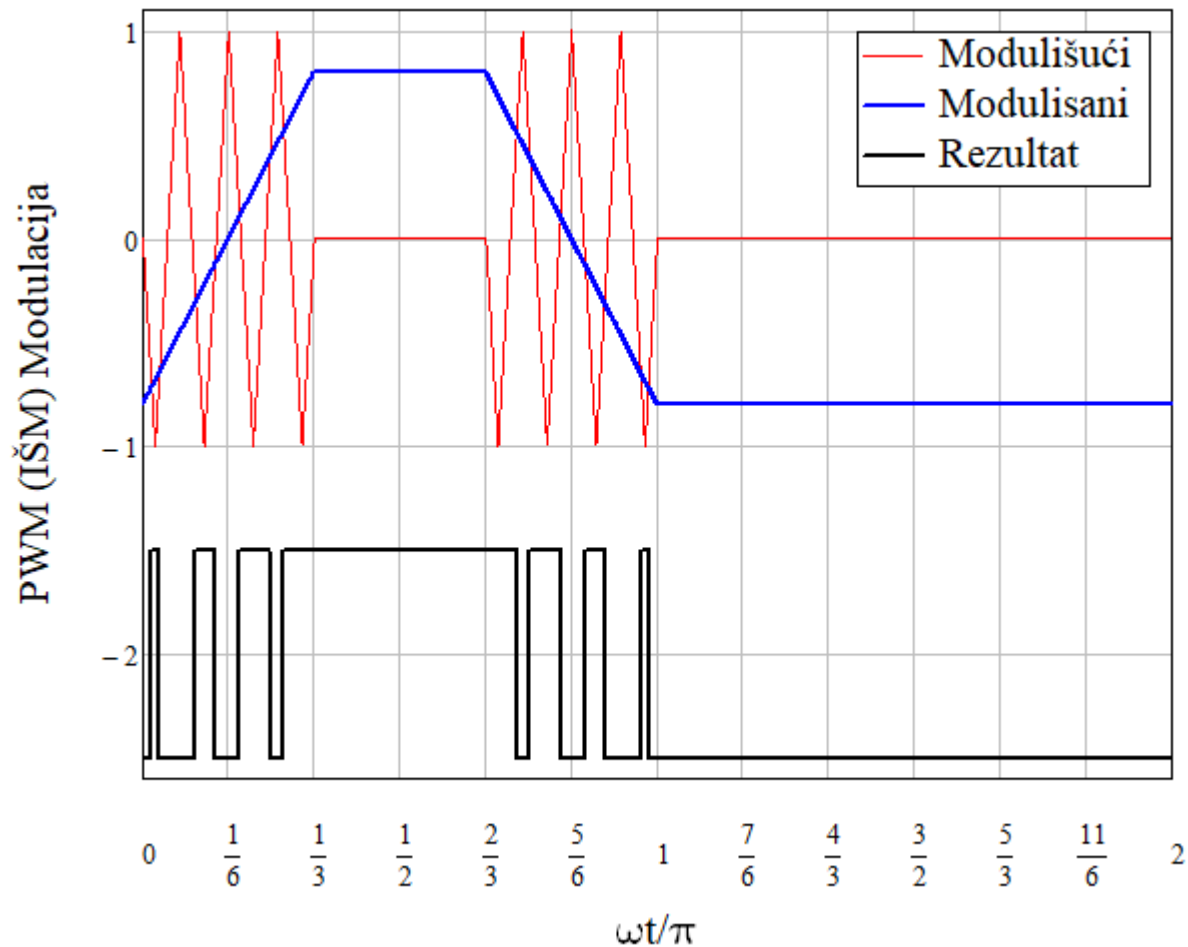
Analiza signala sa eliminacijom harmonika



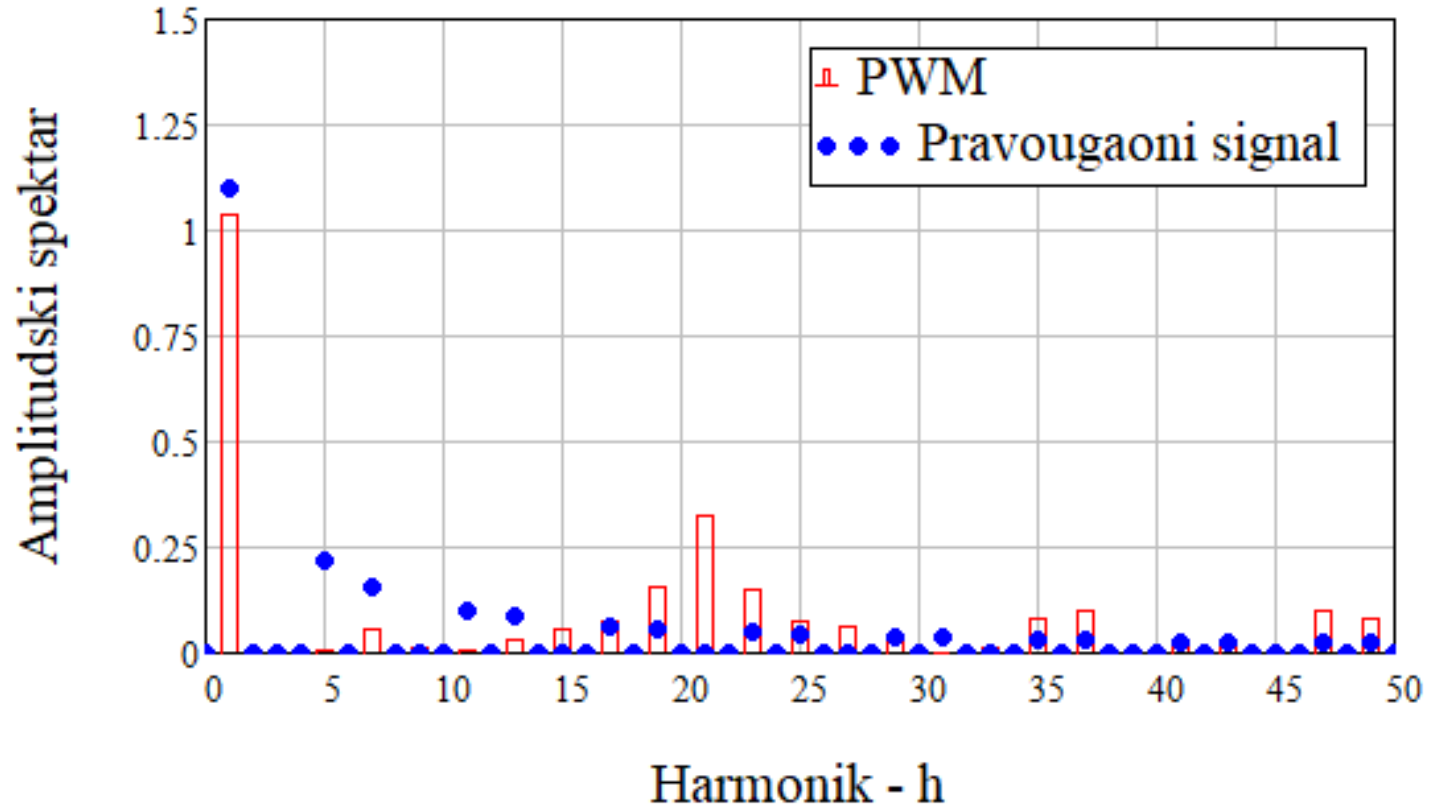
Uporedni prikaz amplitudskih spektara



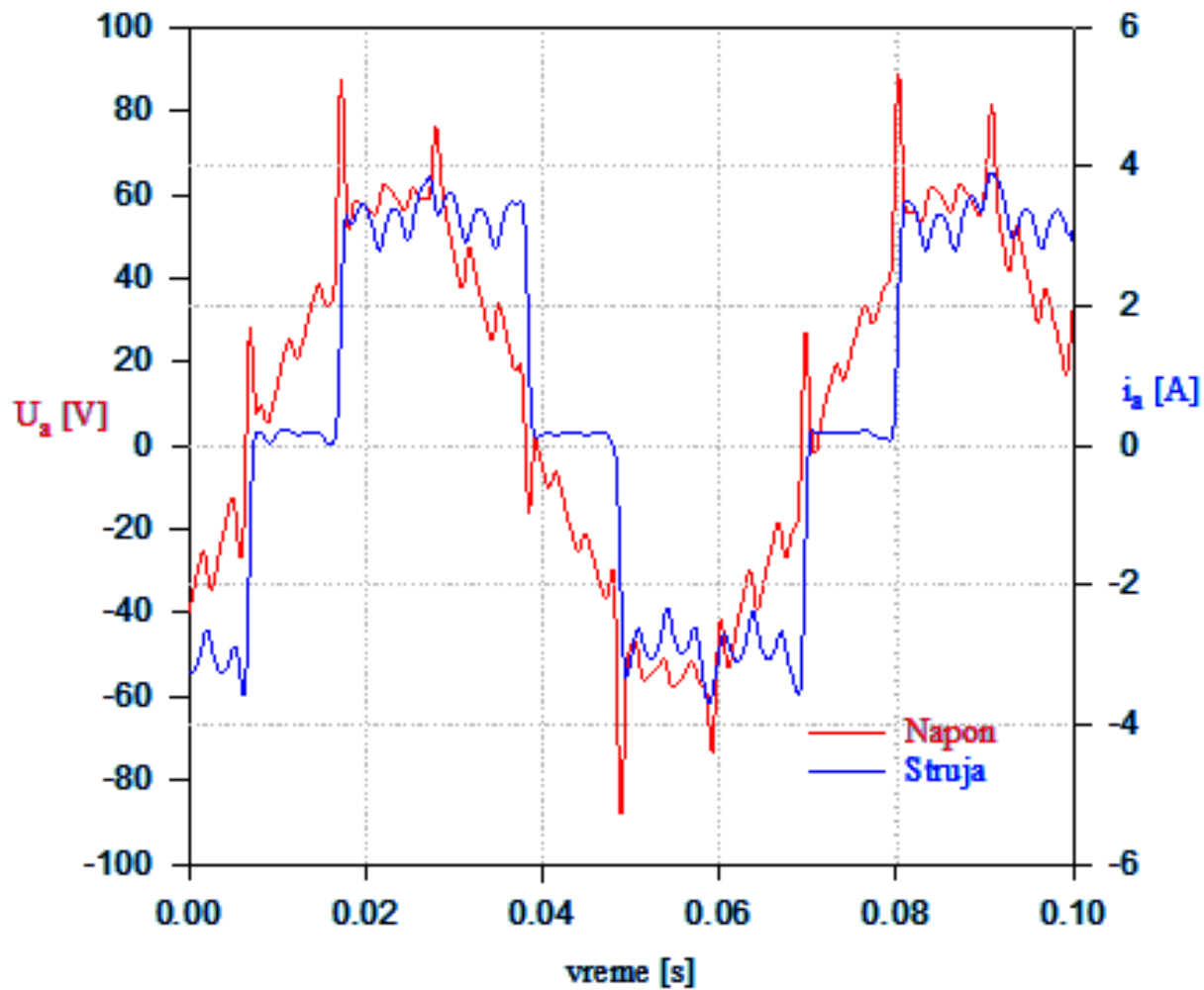
Impulsno širinska modulacija IŠM, PWM



Uporedni prikaz amplitudskih spektara

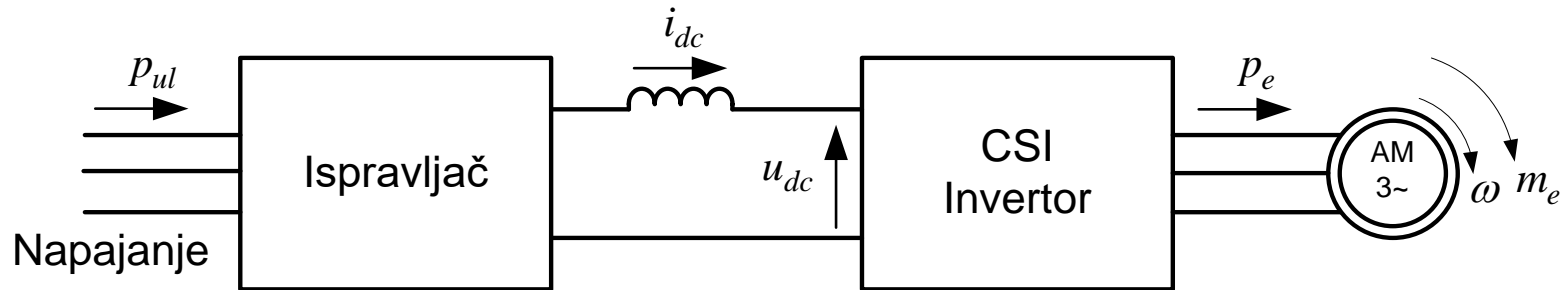


Talasnii oblik fazne struje i napona motora napajano iz strujnog invertora sa sekvencijalnom komutacijom



Regenerativno kočenje

Princip vraćanja energije u mrežu kod strujnog invertora



Motorni režim rada: $p_{ul} > 0$ $i_{dc} > 0$ $u_{dc} > 0$ $p_e > 0$

$$p_m = m_e \cdot \omega > 0$$

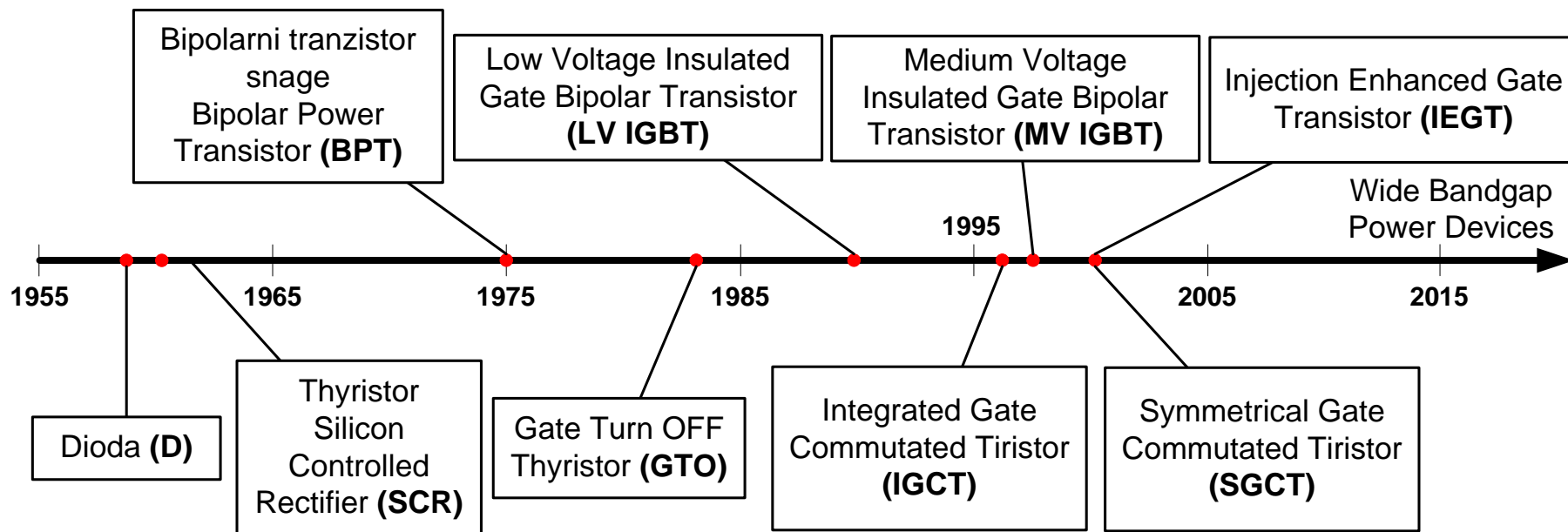
Generatorski režim rada: $p_{ul} < 0$ $i_{dc} > 0$ $u_{dc} < 0$ $p_e < 0$

$$p_m = m_e \cdot \omega < 0$$

Poluprovodnici koji se primenjuju kod strujnih pretvarača

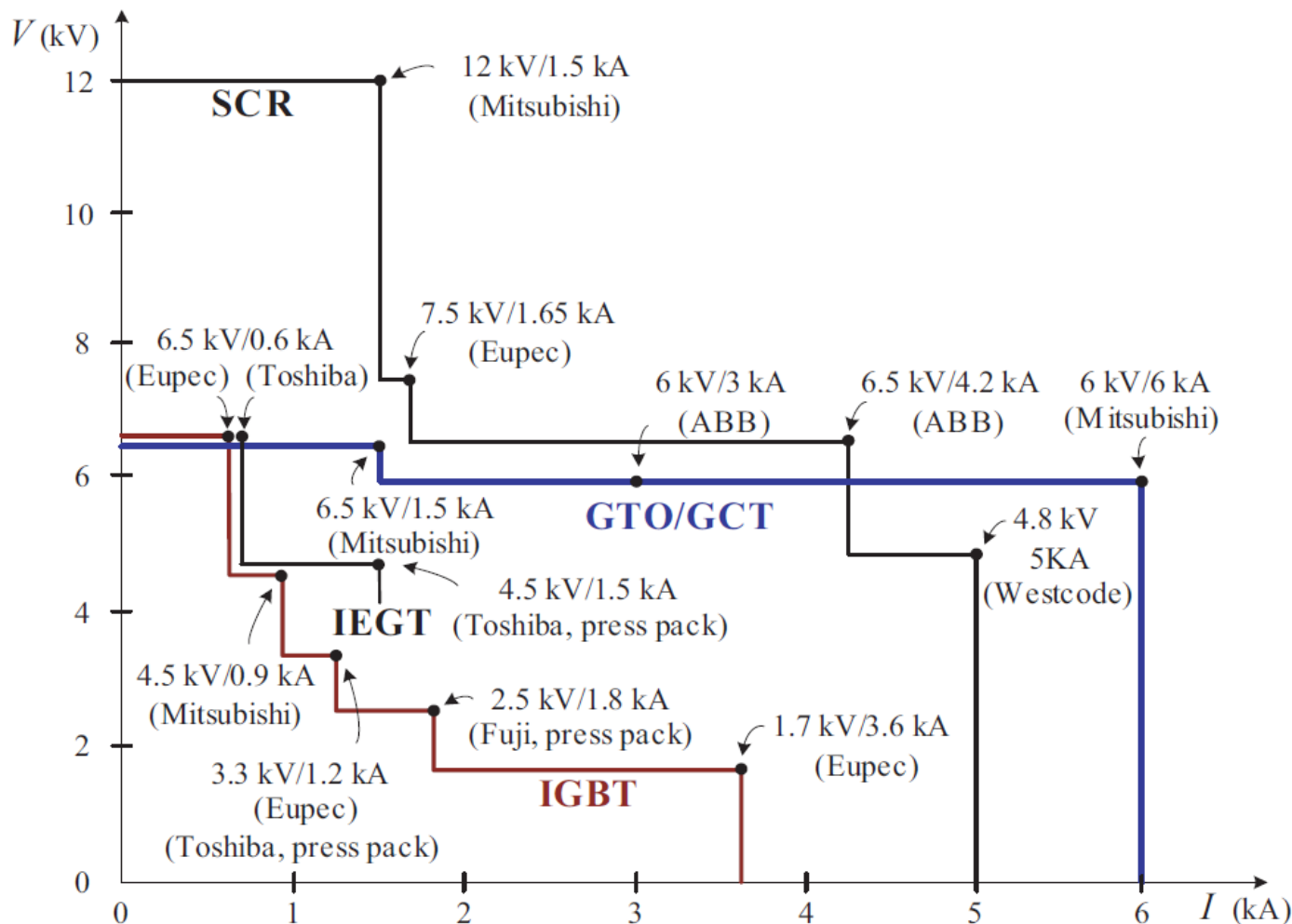
Istorijski razvoj poluprovodničkih komponenti

Tranzistorske komponente



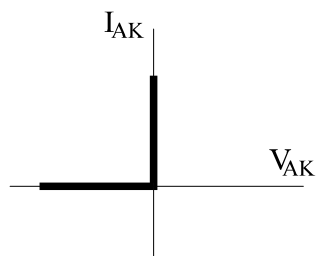
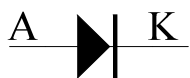
Tiristorske komponente

Naponske i strujne karakteristike poluprovodničkih komponenti



Poluprovodniki koji se primenjuju kod strujnih pretvarača

Diode



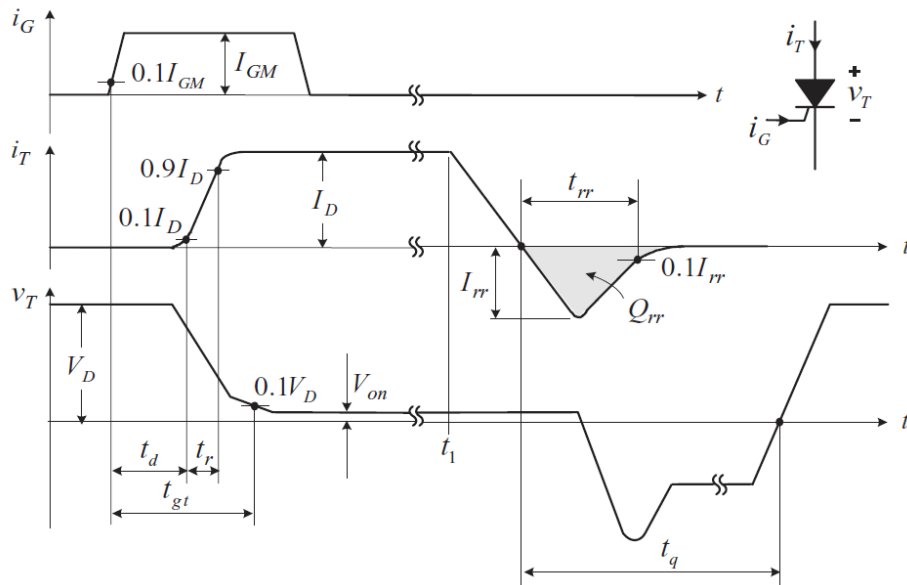
Diode:

Levo: 4,5 kV; 0,8 kA "press pack"

Desno: 1,7 kV; 1,2 kA "modul"

Poluprovodnici koji se primenjuju kod strujnih pretvarača

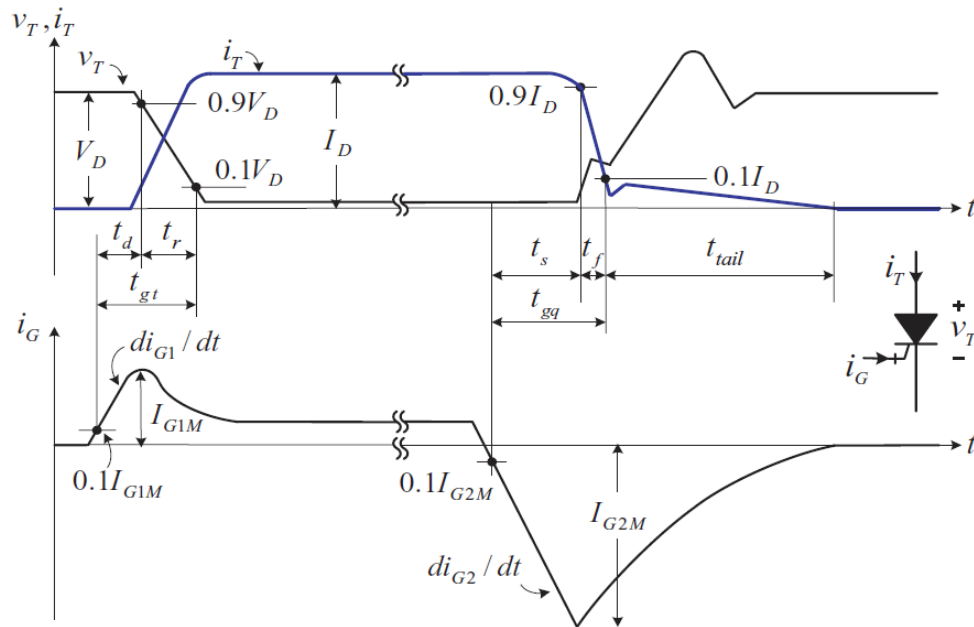
Tiristori (SCR)



SCR:
Levo: 4,5kV; 1,5kA
Desno 8,5kV; 6,6kA

Poluprovodnici koji se primenjuju kod strujnih pretvarača

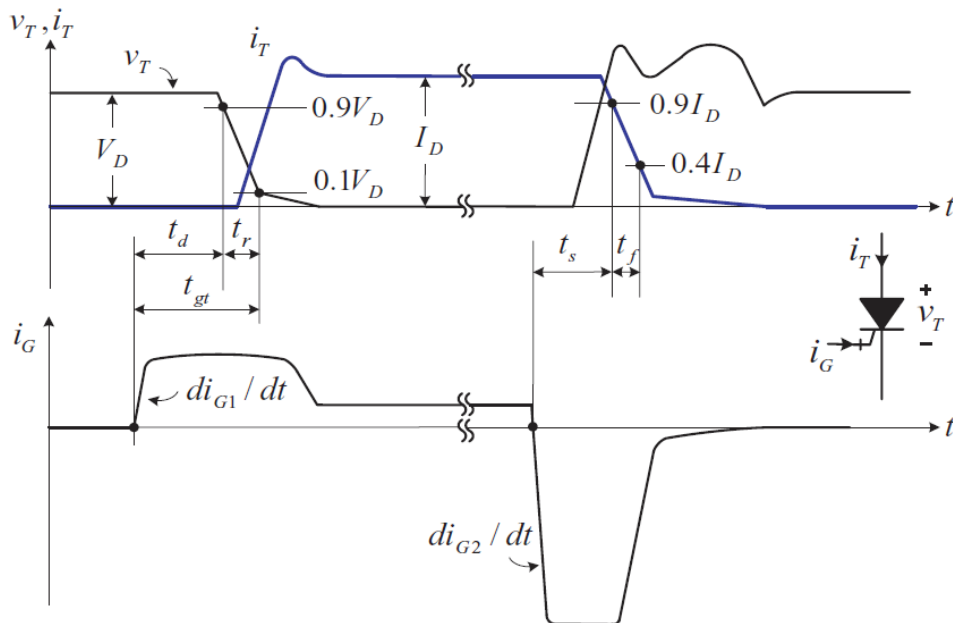
Tiristori sa mogućim isključenjem (GTO)



GTO:
Levo: 4,5kV; 1.5kA
Desno: 6kV; 6kA

Poluprovodnici koji se primenjuju kod strujnih pretvarača

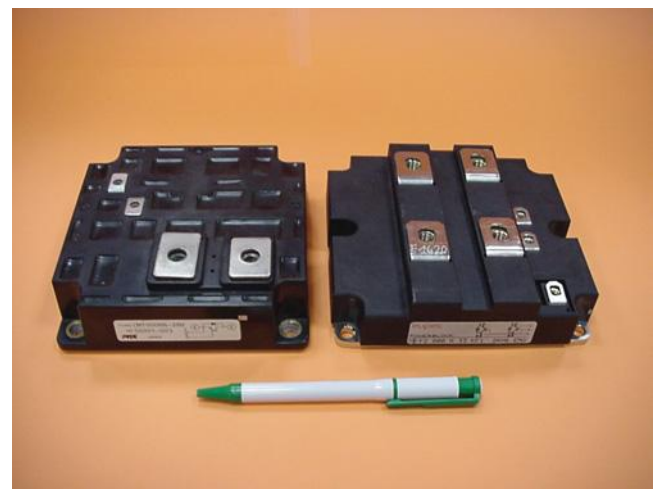
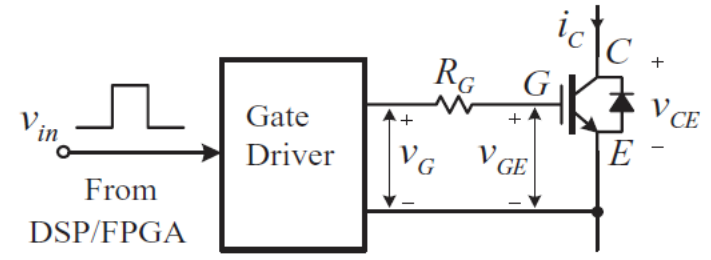
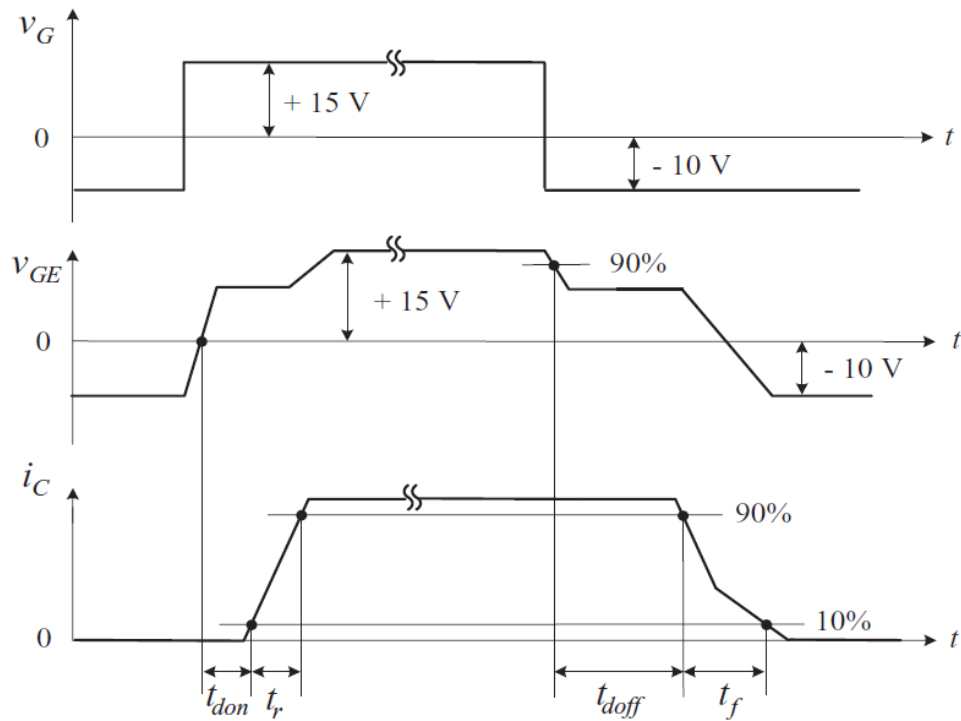
Tiristori sa komutovanim gejtom (GCT, IGCT, SGCT)



SGCT: 6.5kV, 1.5kA
(do 6.5kV, 6kA)

Poluprovodnici koji se primenjuju kod strujnih pretvarača

- IGBT tranzistori



IGBT:
Levo: 1,7 kV; 1,2 kA
Desno: 3,3 kV, 1,2 kA)

Poluprovodnici koji se primenjuju kod strujnih pretvarača

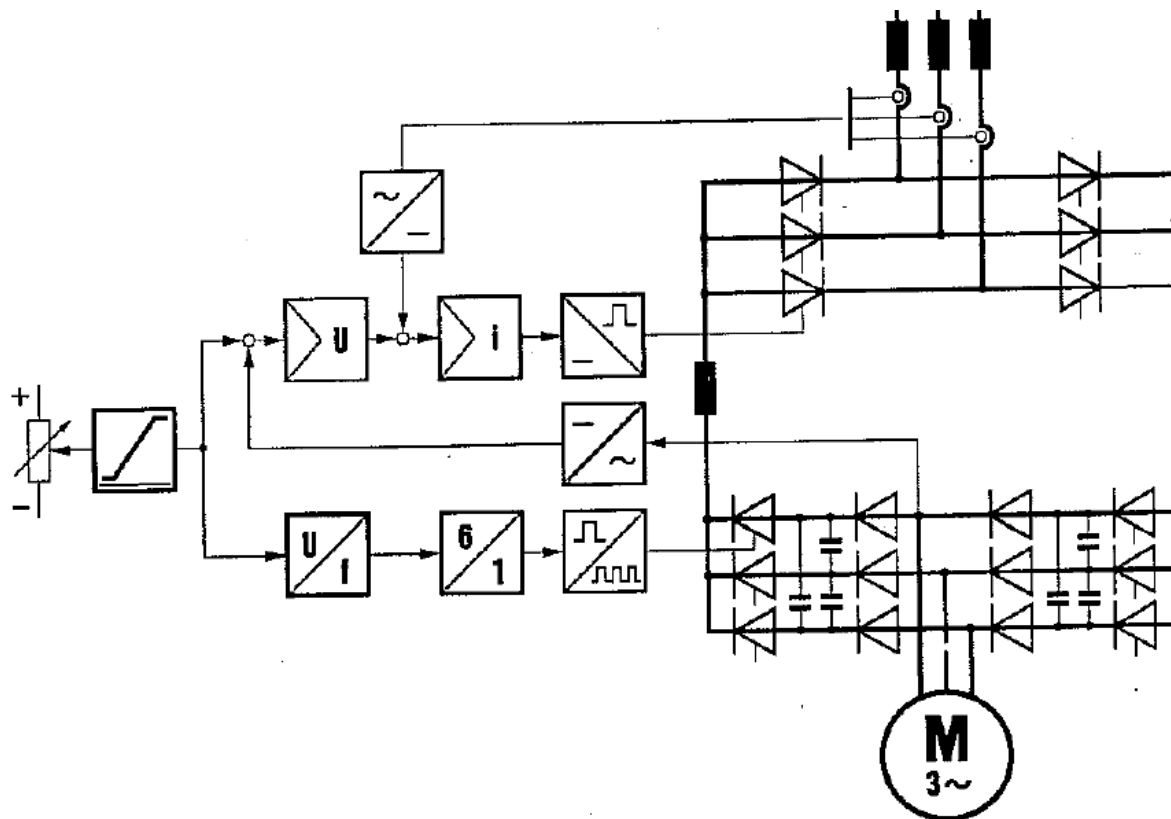
Ostale komponente:

- MOSFET,
- ETO (Emitter Turn-Off thyristor),
- MCT (MOS-Controlled Thyristor),
- SIT (Static Induction Thyristor),
- IEGT (Injection Enhanced Gate Transistor).

Različite topologije i modifikacije strujnog pretvarača

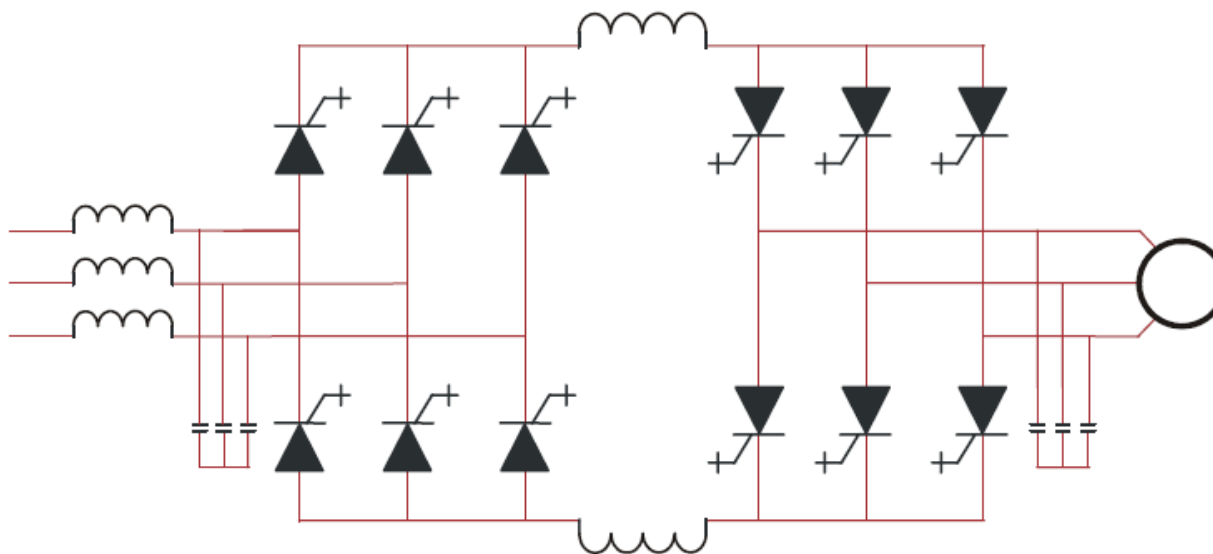
Različite topologije i modifikacije strujnog pretvarača

Strujni inverter sa autosekvencijalnom komutacijom (ASCI, LCI)



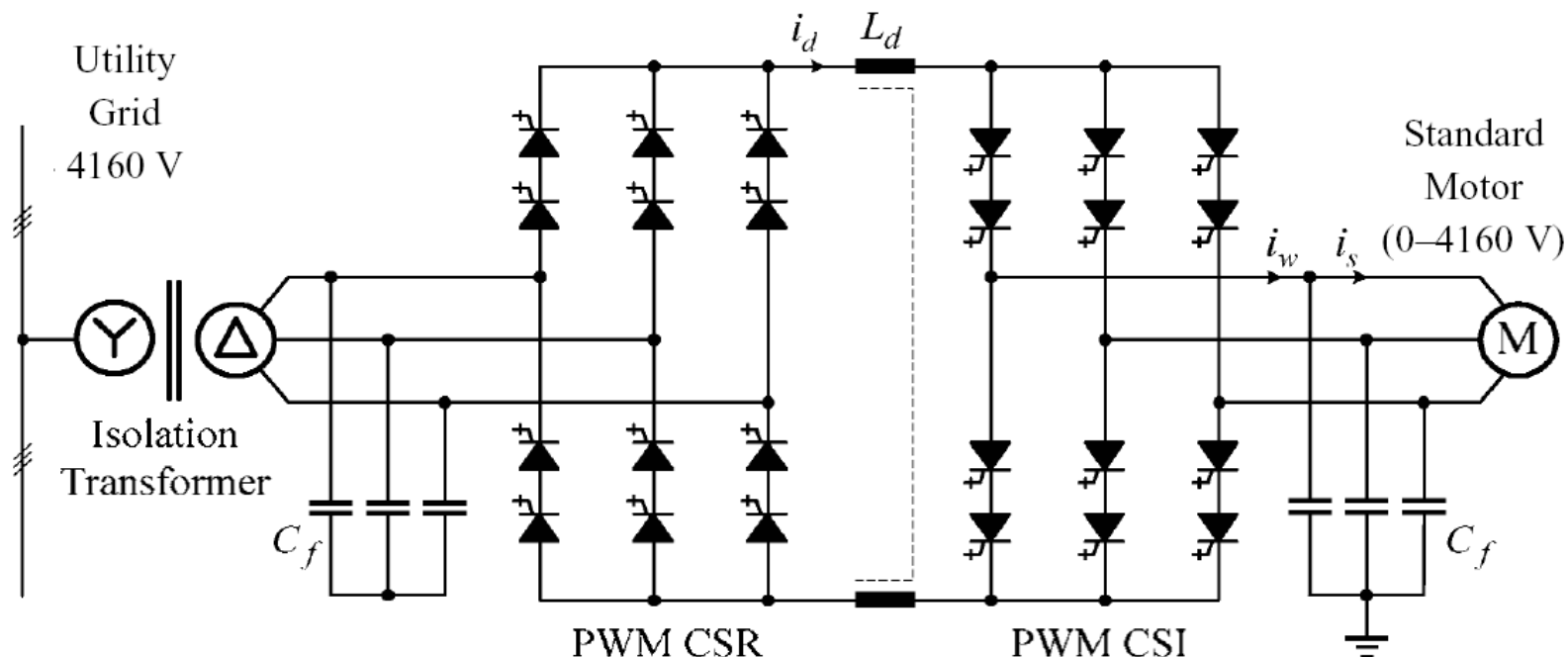
Različite topologije i modifikacije strujnog pretvarača

Strujni PWM inverter sa GTO tiristorima



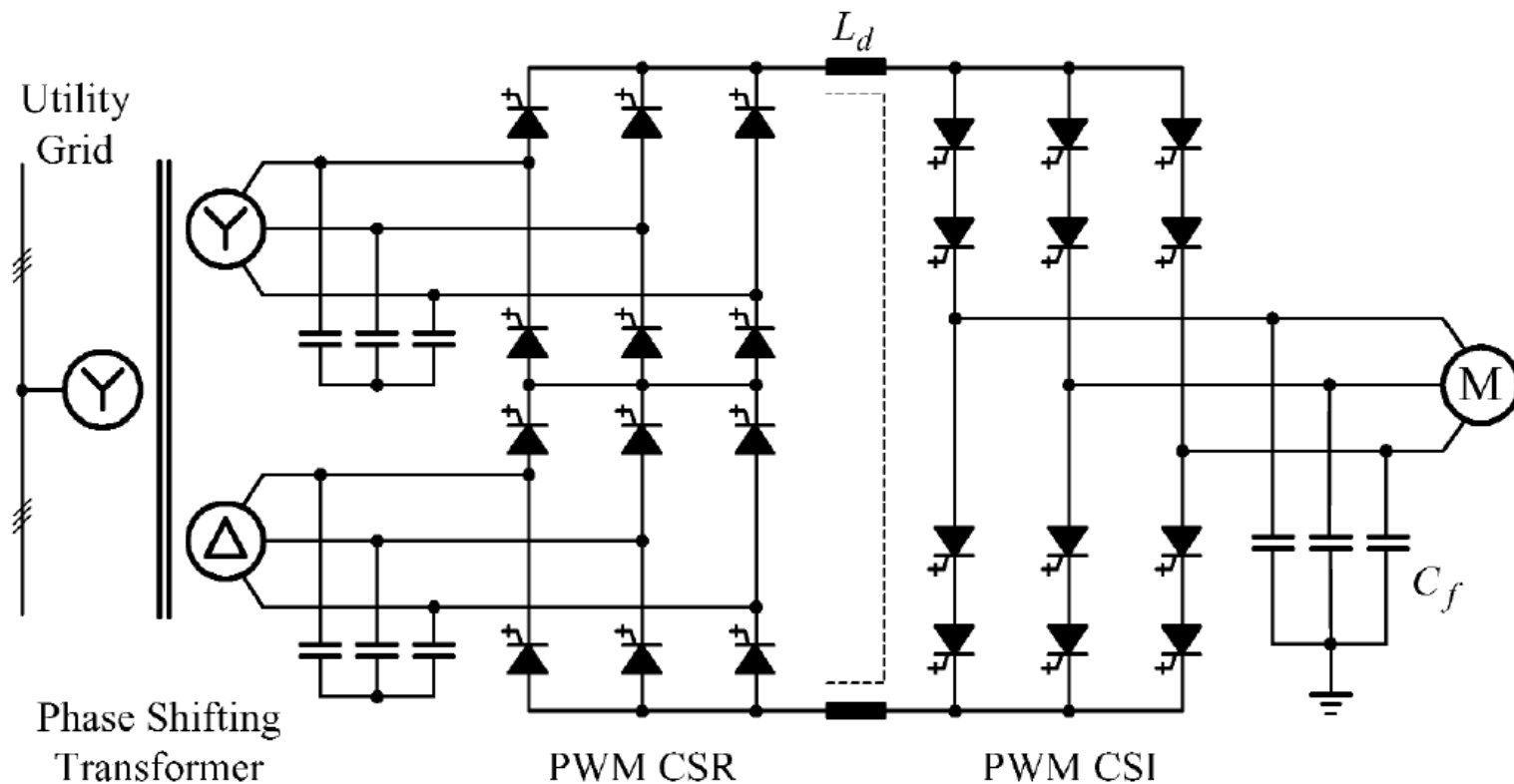
Različite topologije i modifikacije strujnog pretvarača

Strujni pretvarači sa PWM ispravljačem (SGCT ili GTO)



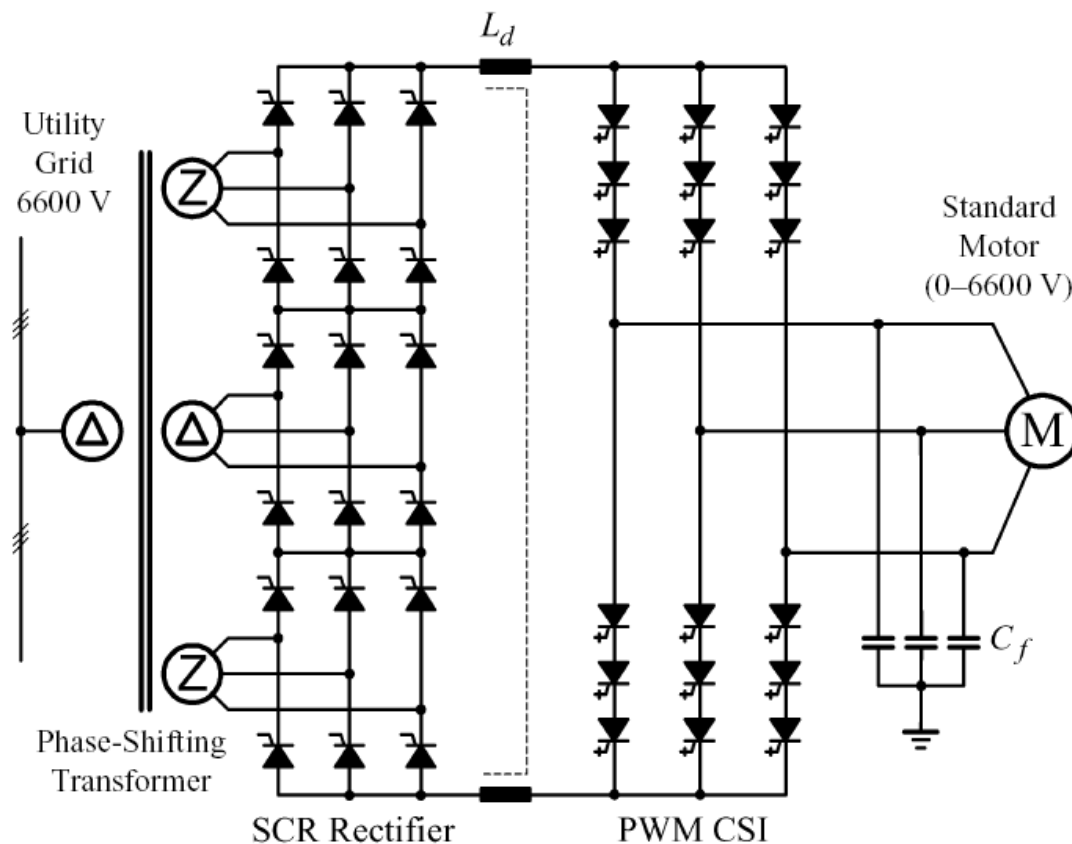
Različite topologije i modifikacije strujnog pretvarača

Strujni pretvarači sa dvostrukim PWM ispravljačem



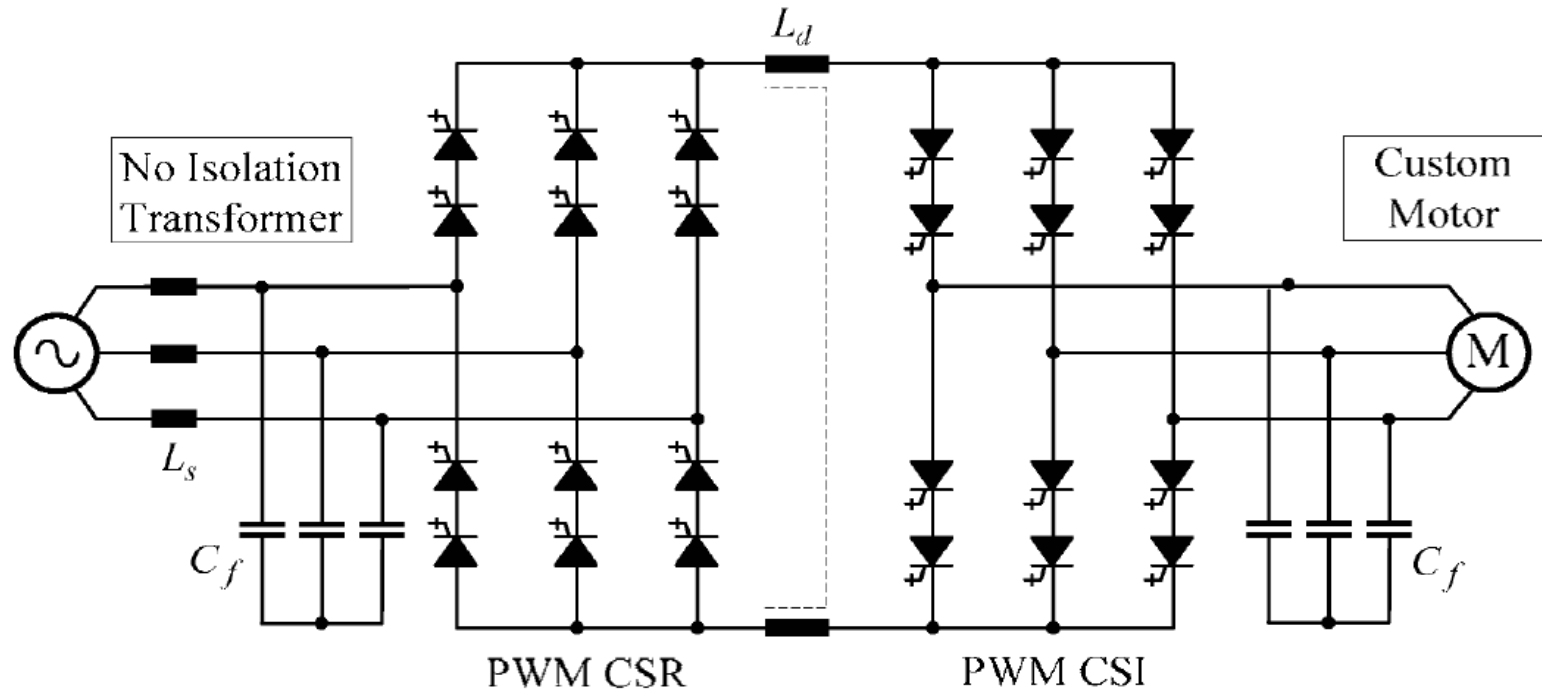
Različite topologije i modifikacije strujnog pretvarača

Strujni pretvarači sa više impulsnim tiristorskim ispravljačem



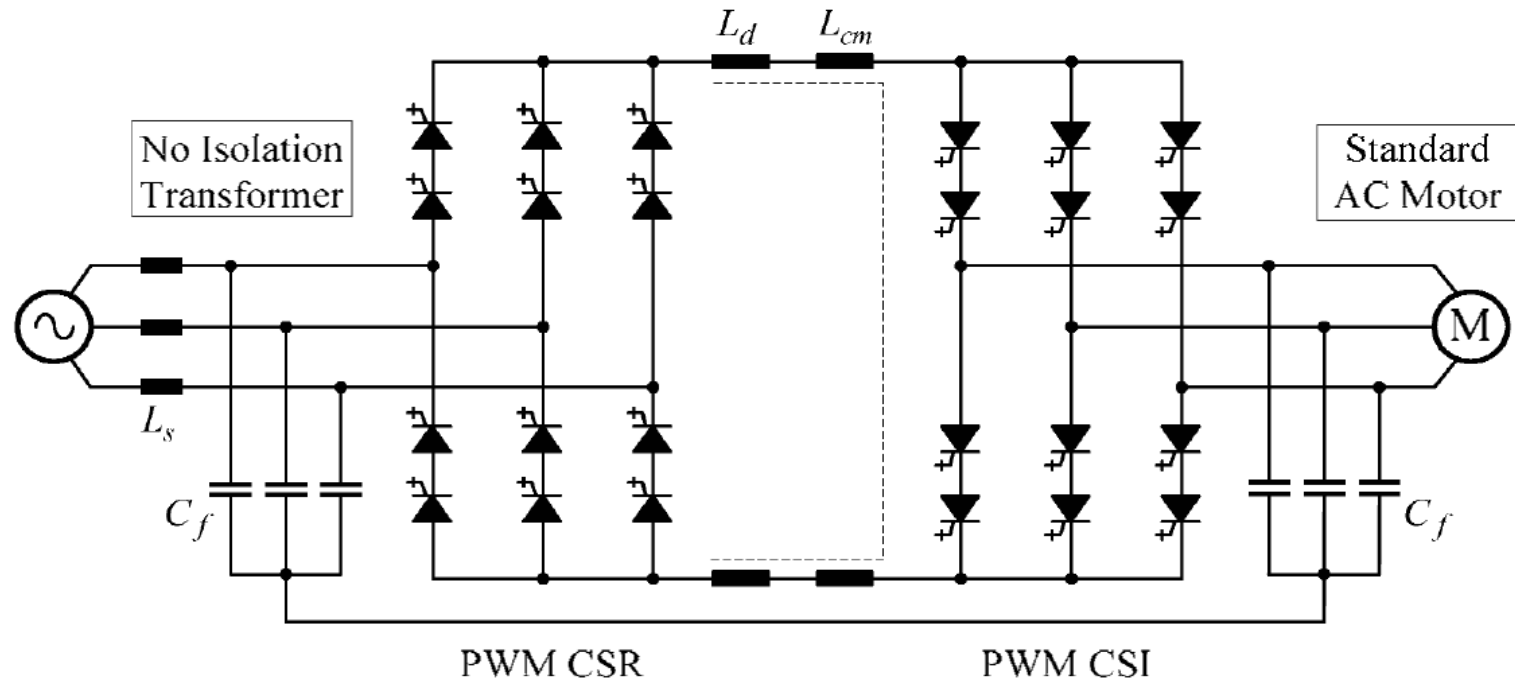
Različite topologije i modifikacije strujnog pretvarača

Strujni pretvarači bez transformatora na ulazu,
za posebno konstruisan motor



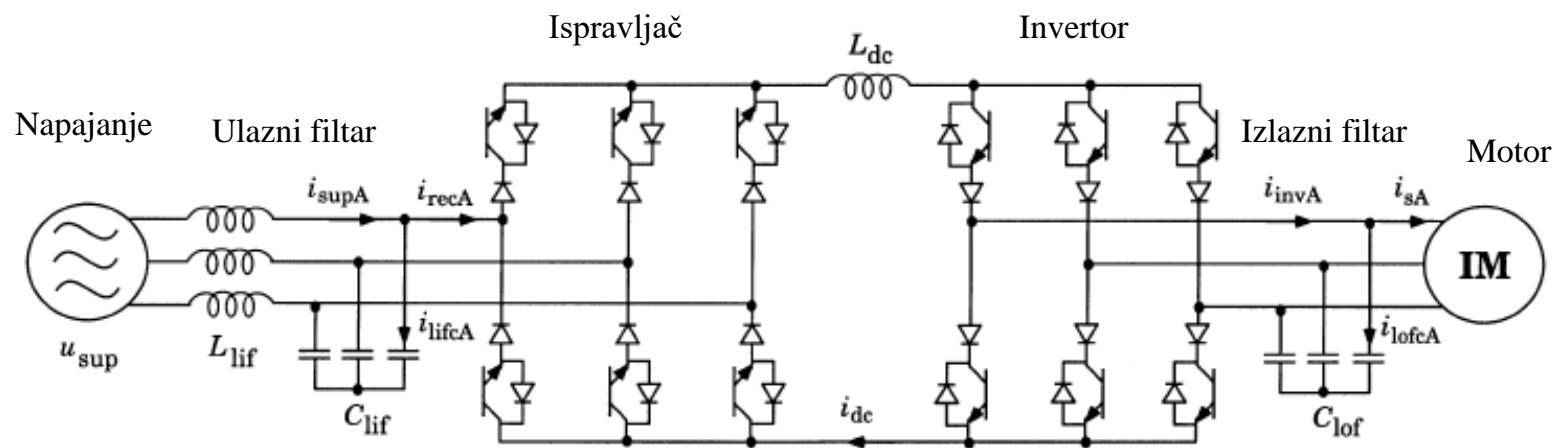
Različite topologije i modifikacije strujnog pretvarača

Strujni pretvarači bez transformatora na ulazu,
standardni motor



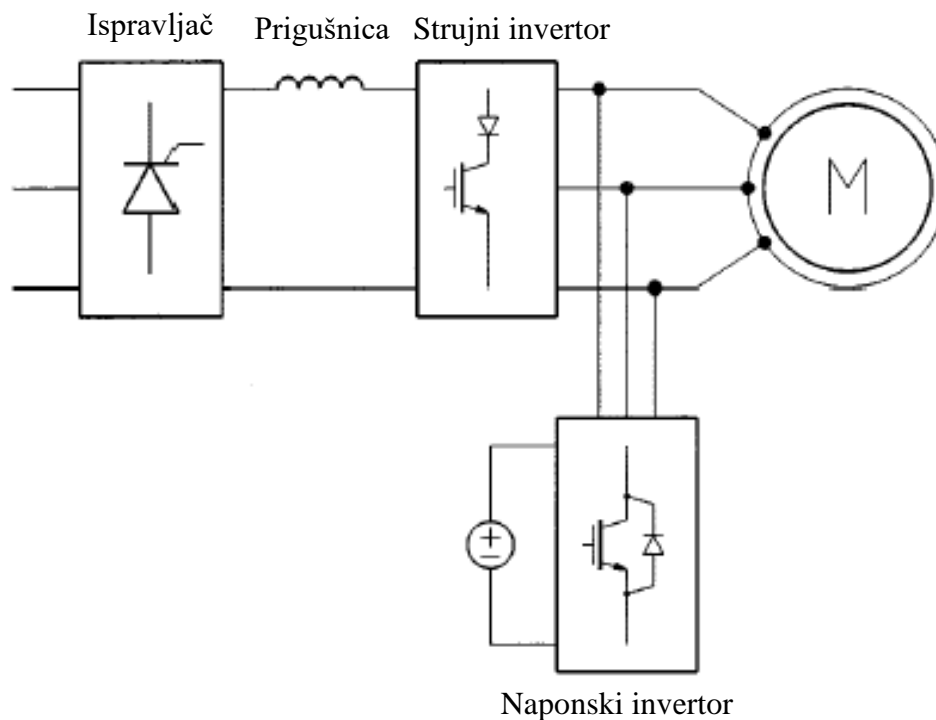
Različite topologije i modifikacije strujnog pretvarača

Strujni PWM inverter sa IGBT tranzistorima



Različite topologije i modifikacije strujnog pretvarača

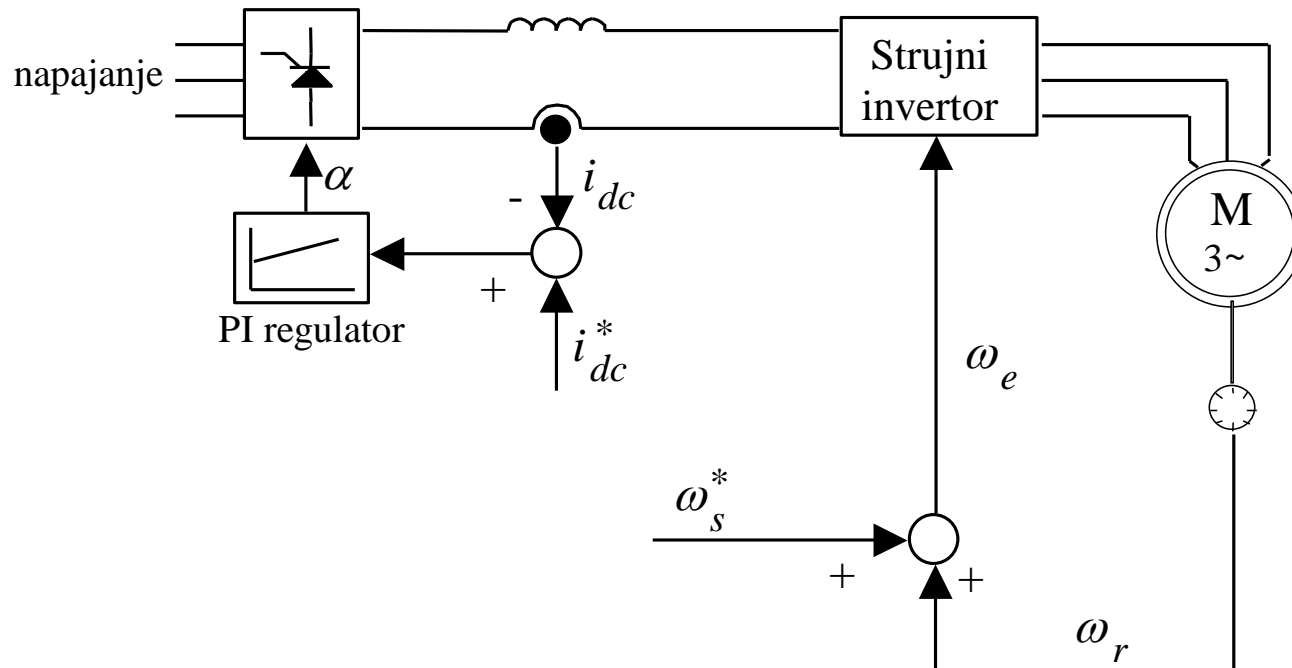
Hibridni strujno-naponski inverter



Upravljačke strategije u pogonima sa strujnim pretvaračima

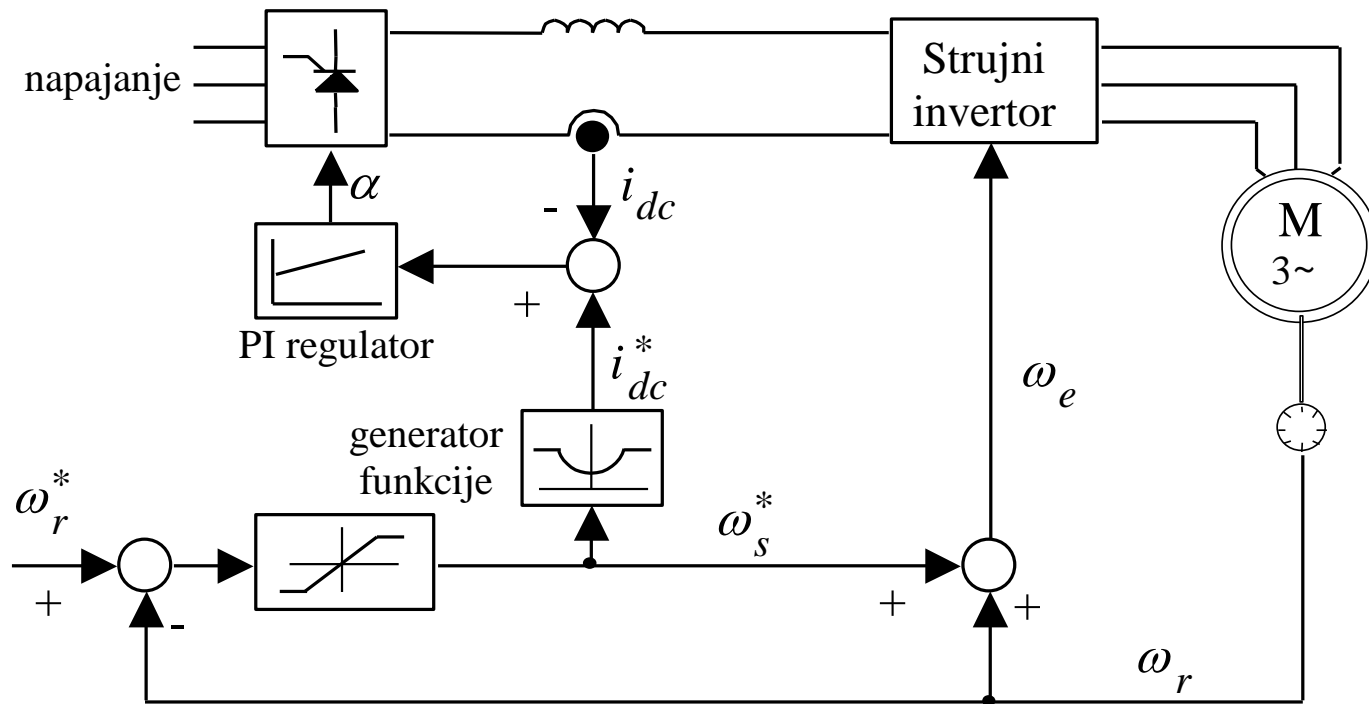
Upravljačke strategije u pogonima sa strujnim pretvaračima

Nezavisna regulacija struje i klizanja



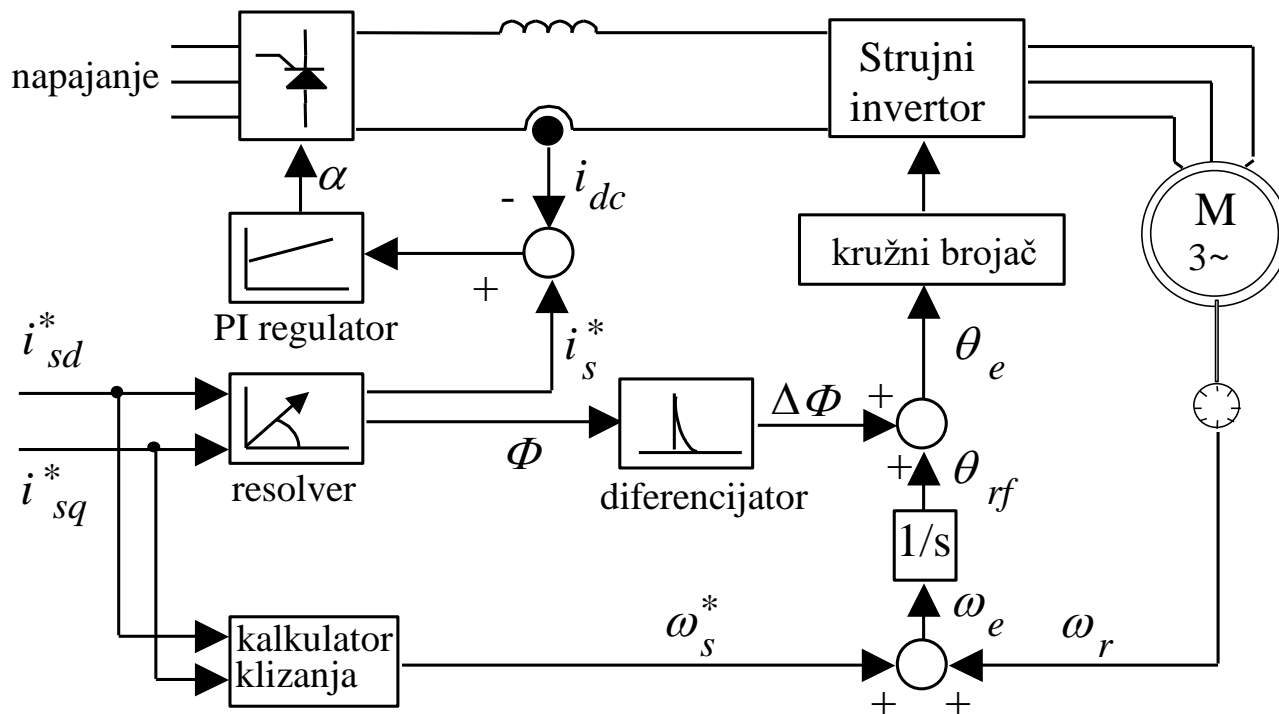
Upravljačke strategije u pogonima sa strujnim pretvaračima

Skalarno upravljanje sa konstantnim fluksom



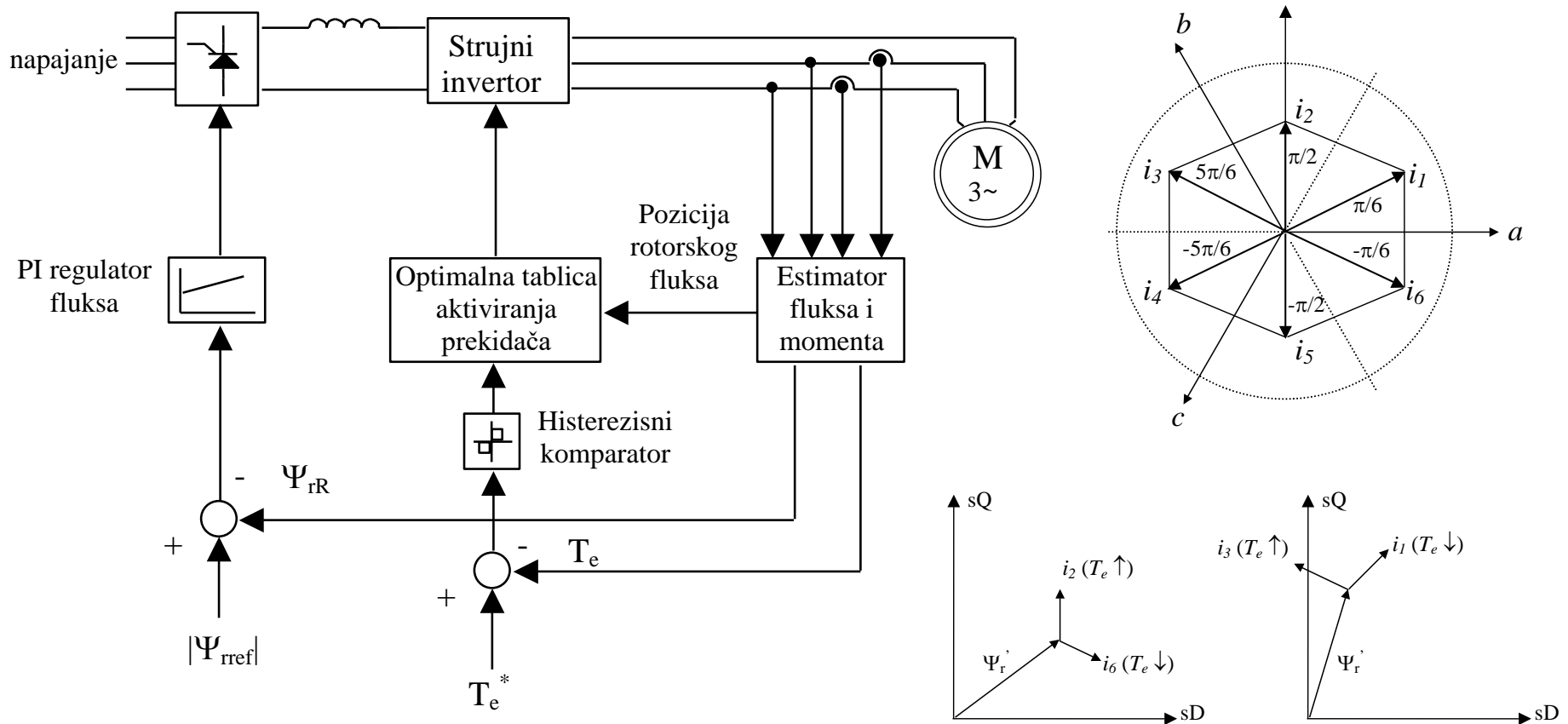
Upravljačke strategije u pogonima sa strujnim pretvaračima

Indirektno vektorsko upravljanje



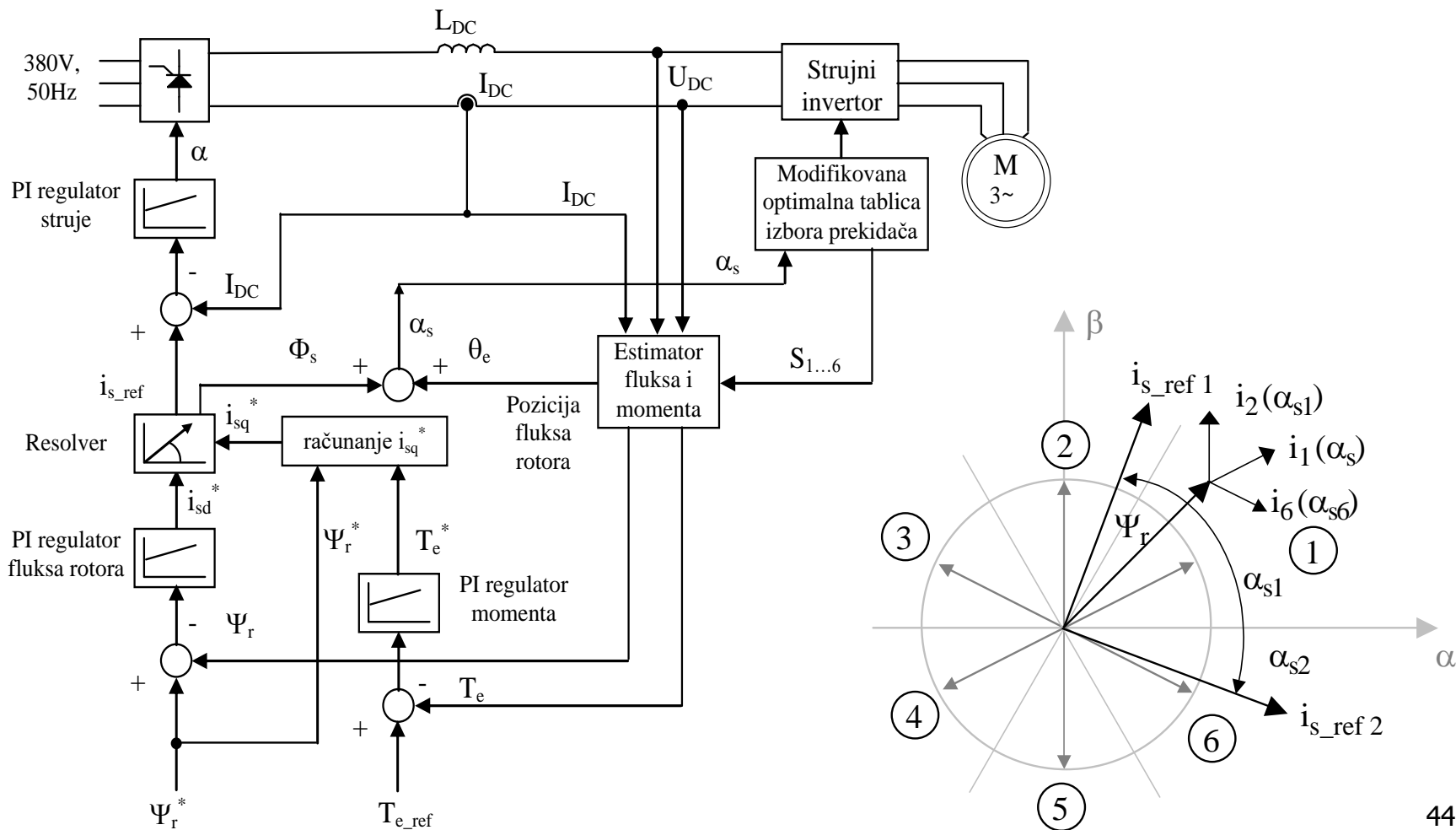
Upravljačke strategije u pogonima sa strujnim pretvaračima

Direktna kontrola momenta (osnovna šema iz literature)



Upravljačke strategije u pogonima sa strujnim pretvaračima

Direktna kontrola momenta (unapređenje osnovne šeme)



Primena strujnih pretvarača u elektromotornim pogonima

Primena strujnih pretvarača u elektromotornim pogonima

Strujni pretvarač za napajanje i upravljanje asinhronih motora
Eksperimentalna postavka sa sekvencijalnom komutacijom.

Laboratorijski prototip,
ETF Laboratorija
za elektromotorne pogone



Primena strujnih pretvarača u elektromotornim pogonima

Primena strujnih pretvarača u pogonima velikih snaga



Siemens Sinamics GL 150 (LCI)



Alstom/GE SD7000 (LCI)

Primena strujnih pretvarača u elektromotornim pogonima

Primena strujnih pretvarača u pogonima velikih snaga



ABB MEGADRIVE-LCI (do 10kV, 72MW)

Primena strujnih pretvarača u elektromotornim pogonima

Primena strujnih pretvarača u pogonima velikih snaga



Rockwell PowerFlex 7000 PWM SGCT
Current Source Converter



Alstom/GE CDM 8000 Current Source Converter

Zaključak

- Karakteristike strujnih pretvarača;
- Poboljšanje performansi pogona sa CSI, unapređenjima upravljačkih algoritama;
- Prednosti i mane strujnih pretvarača;
- Pregled tržišta strujnih pretvarača;
- Trenutna istraživanja sa primenom na pretvaračima većih snaga (iznad 3MW).

Literatura

- J.M.D.Murphy, F.G.Turnbull, Power Electronic Control of AC Motors, Pergamon Press, Oxford, 1988.
- W.Leonhard, Control of Electrical Drives, Springer-Verlag Berlin, Heildeberg, 1996 (Second Edition).
- B.K.Bose, Power Electronics and AC Drives, Prentice-Hall, New Jersey, 1986.
- D.W.Novotny, R.D. Lorenz, “Introduction to Field Orientation and High Performance AC Drives”, Presented at IEEE Industry Applications Society Annual Meeting in Toronto, Canada, 1985.
- P.Vas, Vector Control of AC Machines, Clarendon Press Oxford, New York, 1990.
- P.Vas, Sensorless Vector and Direct Torque Control, Oxford, U.K., Oxford University Press, 1998.
- I.Boldea, S.A.Nasar, Electric Drives, CRC Press, 1998.

Literatura

- B. Wu, M. Narimani, “High-Power Converters and AC Drives”, 2nd edition, Wiley-IEEE Press, ISBN: 978-1-119-15603-1, March 2017.
- V. Yaramasu, B. Wu, “Model Predictive Control of Wind Energy Conversion Systems”, Wiley-IEEE Press, ISBN: 978-1-118-98858-9, January 2017.
- Sever, “Monoverter – Tehnički Opis sa Principom Regulacije”, Subotica, 1986.
- Rockwell Automation, PowerFlex 7000 Medium Voltage AC Drive – Technical Guide for Frame A, Publication No. 7000A-TD200B-EN-P, Canada, November 2004.
- Alstom, ALSPA Drive Range, Publication N° POWC/BPROB/ALSPA/uke/GDB/03.01/FR/1780, France, 2001.

Literatura

- A.Nikolic, B.Jeftenic, “Precise Vector Control of CSI Fed Induction Motor Drive”, European Transactions on Electrical Power (ETEP), John Wiley & Sons USA, ISSN 1430-144X, Issue 2, Volume 16, pp. 175-188, March 2006.
- A.Nikolic, B.Jeftenic, “Different Methods for Direct Torque Control of Induction Motor Fed From Current Source Inverter”, WSEAS Transactions on Circuits and Systems, ISSN 1109-2734, Issue 7, Volume 7, pp. 738-748, July 2008.
- A.Nikolic, B.Jeftenic (invited paper), “Current Source Converter Topologies for PMSG Wind Turbine Applications”, in Proceedings of International Power Electronics and Motion Control Conference EPE-PEMC 2010, Special session on wind energy conversion systems, Ohrid, FYRM, September 2010.
- A.Nikolic, B.Jeftenic, “Direct Torque Control and Virtual-Flux Based Direct Power Control of Current Source Converter in Wind Turbine Application”, in Proceedings of 14th European Conference on Power Electronics and Applications (EPE 2011), Birmingham, UK, September 2011.

Literatura

- M.Rivera, S. Kouro, J. Rodriguez, B. Wu, V. Yaramasu, J. Espinoza and P. Melin, „Predictive Current Control in a Current Source Inverter Operating with Low Switching Frequency“, in Proceedings of 4th International Conference on Power Engineering, Energy and Electrical Drives, Istanbul, Turkey, 13-17 May 2013, pp. 334-339.
- A.Nikolic, M.Rivera, M.Bebic, S.Milosavljevic, “Predictive Control of a Current Source Rectifier in Wind Energy Conversion System with PMSG”, in Proceedings of 3rd IEEE Southern Power Electronics Conference, SPEC 2017, 4-7 December 2017., Puerto Varas, Chile.
- P. Tenca, T. Lipo, “Reduced cost Current-source Topology improving the Harmonic Spectrum Through On-line Functional Minimization”, IEEE 35th Annual Power Electronics Specialists Conference PESC2004, Aachen, Germany, pp.2829-2835, July 2004.
- J. Dai, D. Xu, B. Wu, “A Novel Control System for Current Source Converter Based Variable Speed PM Wind Power Generators”, IEEE 38th Annual Power Electronics Specialists Conference PESC2007, Orlando, Florida, USA, June 2007, pp. 1852-1857.

Literatura

- Z. Chen, E. Spooner, “Current source thyristor inverter and its active compensation system”, *IEE Proceedings Generation Transmission and Distribution*. Vol. 150 No. 4 July 2003.
- N. Zargari, S. Rizzo, Y. Xiao, H. Iwamoto, K. Sato, J. Donlon, “A New Current Source Converter Using A Symmetric Gate Commutated Thyristor (SGCT)”, *IEEE Transactions on Industry Applications*, Volume: 37 Issue: 3, Page(s): 896 – 903, 2001.
- Seggewiss J. G., Kottwitz R. G., McIntosh D., “The process and economic benefits of synchronizing applications with medium-voltage drives”, *IEEE Industry Application Magazine*, 58-65, July/August 2003.
- CEE, “Motor Efficiency, Selection and Management – A Guidebook for Industrial Efficiency Programs”, Boston, USA. September 2013.

Literatura

- A.Nikolić, “Vektorsko upravljanje asinhronim pogonom sa strujnim pretvaračem učestanosti”, Magistarska teza, Elektrotehnički fakultet u Beogradu, Beograd, Maj 1999
- A.Nikolić, “Direktna kontrola momenta asinhronog motora napajanog iz strujnog pretvarača učestanosti”, Doktorska disertacija, Elektrotehnički fakultet u Beogradu, Beograd, April 2009